

Izvajalec študije:

Inštitut za biologijo

MORSKA BIOLOŠKA

POSTAJA

Fornače 41, Piran 6330

Geofizikalno-ekološki pristop k disperziji odplak piranskega izpusta

Uporabnik/sofinancer: Javno podjetje

OKOLJE Piran d.o.o., Fornače 33, Piran 6330

Nosilec naloge: doc.dr. Vlado Malačič

Sodelavci: dr. Aleksander Vukovič

Študija se navaja kot poročilo o znanstveno-raziskovalni nalogi:

Malačič V., 1998. Geofizikalno-ekološki pristop k disperziji odplak piranskega izpusta.
Fazno poročilo 2, Nacionalni inštitut za biologijo, Morska biološka postaja Piran, 43 str.

V Piranu, 23. novembra 1998

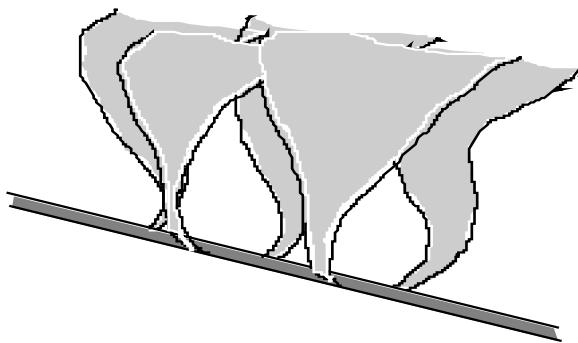
KAZALO

1. NUMERIČNI MODEL ZAČETNE DILUCIJE	1
1.1 Uvod v numerični model	1
1.2 Osnovne enačbe modela	1
1.3 Spremljajoče enačbe, parametri in začetni pogoji modela	7
2. NUMERIČNI PROGRAM	12
2.1 Namen programa	12
2.2 Opis programa	14
2.3 Pregled algoritma	18
3. KALIBRACIJA MODELA	18
3.1 Uvod v kalibracijo	18
3.2 Osnove kalibracijske metode	20
3.3 Povzetek kalibracijske metode	23
3.4 Rezultati kalibracije modela	24
4. OBČUTLJIVOST MODELA NA ZAČETNE POGOJE	28
5. POVZETEK IN ZAKLJUČEK	31
<i>Zahvala</i>	34
<i>Seznam pomembnejših količin</i>	34
<i>Dodatek A. Izvorna koda programa SPLINRUN</i>	35
<i>Literatura</i>	43

1. NUMERIČNI MODEL ZAČETNE DILUCIJE

1.1 *Uvod v numerični model*

V prvem faznem poročilu (Malačič, 1997) so bile opisane zahteve za difuzor odplak in opravljen je bil hidravlični izračun za difuzor novejšega izpusta, ki je bil na čelu modifciran z betonskim zamaškom z odprtino premera 10 cm. V tem poročilu bo opisan naslednji korak pri oceni delovanja difuzorja. Z numeričnim modelom bomo simulirali prvo fazo potovanja odplak iz difuzorja. Pozornost bo usmerjena predvsem na višino dviga in na faktor redčenja odplak. Ta faza se zaključi s formiranjem začetnega madeža odpadne vode. To je tudi edina faza, na katero lahko vplivamo s konstrukcijo difuzorja, hkrati se v njej odvija najizrazitejše redčenje odplak.

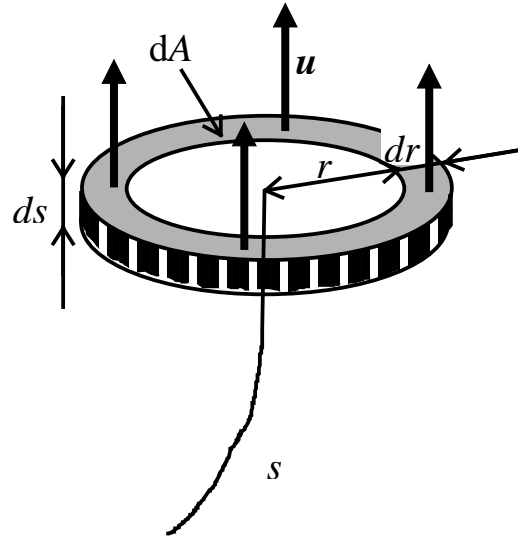


1.2 *Osnovne enačbe modela*

Za praktične namene so pri oceni redčenja in dviganja odplak še najbolj v rabi inženirske metode, ki bolj ali manj temeljijo na grafično-tabelaričnem deduciranju stopnje redčenja in višine dviga (oz. dolžine "iztočnega jezika") iz nomogramov (npr. Kolar, 1983; Quetin in De Rouville, 1986). Pri tem je potrebno kot vhodne podatke navesti tako podatke, ki so posledica konstrukcije difuzorja (npr. začetna razlika med gostoto okolne tekočine in gostoto efluenta, iztočna hitrost in dimenzijske odprtine), kot tudi podatke o okolju (npr. vertikalni gradient gostote morske vode). Iz teh količin se nato tvorijo brezdimenzijska števila, ki imajo bistven vpliv na potek procesa (npr. interno Froudeovo število). Rezultat je nato grafično odčitan.

Ocenili smo, da bo za namene naše študije bolje razviti numerični model na osnovi splošno veljavnih ohranitvenih zakonov, pri čemer pa se naslonimo na spoznanja, dobljena z opazovanjem procesov v laboratoriju ali v naravi, ki so opisana v ustreznici literaturi. Za ta korak smo se odločili zato, da bomo z numeričnim modelom kasneje opazovali začetno fazo redčenja tudi pri komplikiranem vertikalnem profilu gostote v sezonskem obdobju, ko lahko razlikujemo več gostotnih plasti v vodnem stolpu, med katerimi so nekatere (pridnena in površinska mejna plast) gostotno homogene zaradi intenzivnega vertikalnega mešanja, druge pa izredno stratificirane. Takšno strukturo je težko nadomestiti s preprosto linearno vertikalno spremembo gostote vodnega stolpa. Poleg tega smo želeli s simulacijo dobiti podrobnejši vpogled v samo dinamiko začetne faze. Pri konstruiranju numeričnega modela smo se naslonili na delo, ki ga je naredil R. E. Featherstone (1984), katero smo dopolnili s spoznanji opisanimi v delu Fischer in drugi (1979). Model bo simuliral širjenje in redčenje vzgonskega curka, ki izhaja iz ene odprtine (krožnega preseka) v stratificirano mirujoče morje, ki je pogosto tudi mnogo manj turbulentno od curka odplak.

Najprej označimo osnovne količine, ki so integrirane po preseku iztočnega vzgonskega curka (buoyant jet). Naj je $dQ (=dV/dt = dAds/dt = u \cdot dA)$ pretok volumna $dV (=dAds)$ tekočine (oz. specifični pretok mase), ki teče s hitrostjo \mathbf{u} skozi osnosimetrično valjasto cev polmera r , majhne višine ds in ploščine osnovne ploskve dA (Sl. 1). Cev naj je pravokotna na trajektorijo curka na oddaljenosti s od odprtine difuzorja, merjene vzdolž trajektorije. Podobno definirajmo še pretok mase $d\Psi = \rho dQ (= \rho dAds / dt = \rho u \cdot dA)$ in pretok gibalne količine $\rho dM = dG/dt (= dm / dt = \rho dAds / dt = \rho u \cdot dA = \rho dA u^2)$, kjer je dG gibalna količina valjaste cevi curka, ρ pa gostota curka. V enačbah pa bosta nastopala specifični pretok gibalne količine dM in specifični pretok vzgona dB . Slednji nastopa v pretoku vzgona $\rho dB = g(\rho_a - \rho) dAds/dt = (\rho_a - \rho) dA \cdot u$, kjer je ρ_a gostota okolne tekočine, g pa težni pospešek. Definirajmo še vzgonsko silo na enoto višine valjaste cevi $\rho f = dF/ds (= (\rho_a - \rho) g dA)$, kjer je F sila vzgona na tekočino v omenjeni cevki.



Sl. 1. Skica geometrije elementa vzugonskega curka.

Vse količine skupaj integrirajmo po cevih različnih polmerov (površin) in enake dolžine ds . Tako dobimo pretoke volumna Q , gibalne količine M in vzungona B ter vzungosko silo na efluent, ki teče skozi rezino vzugonskega curka višine ds , ki je simetrično porazdeljena okoli trajektorije, ki rezino prebada in je pravokotna na smer širjenja efluenta:

$$\begin{aligned} Q &= \int_A u dA, \quad \Psi = \int_A \rho u dA, \quad M = \int_A u^2 dA \\ B &= g \int_A (\Delta\rho/\rho_0) u dA, \quad f = g \int_A (\Delta\rho/\rho_0) dA \end{aligned} \quad (1.1)$$

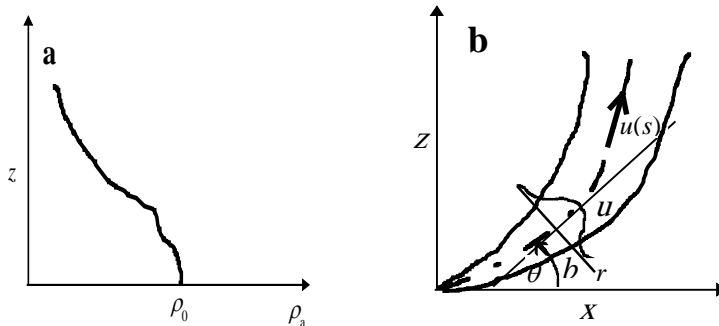
pri čemer je A presek vzugonskega curka, u velikost hitrosti \mathbf{u} v curku, za katero predpostavimo, da je osno simetrično porazdeljena (odvisna od oddaljenosti r od osi curka) in da je usmerjena vzdolž osi širjenja curka. Gostotna razlika $\Delta\rho = \rho_a - \rho$, kjer je ρ_a gostota okolišnje tekočine, ki je odvisna od višine z nad difuzorjem, ρ pa gostota efluenta v curku. Naj je gostota okolice pri iztočni odprtini difuzorja $\rho_a(0) = \rho_0$ (Sl. 2). Pretok gibalne količine M se vzdolž trajektorije curka spreminja predvsem na račun kvadrata hitrosti u^2 , medtem ko se gostota v curku ρ pri spremembi višine za pribl. 20 m zagotovo spremeni za manj kot 3 %. Zato smo $\Delta\rho/\rho$ v izrazih za B in f v (1.1) smiselno aproksimirali z $\Delta\rho/\rho_0$. Za x -komponento gibalne količine v horizontalni smeri in z -komponento gibalne količine v vertikalni smeri pa velja ohranitveni zakon:

$$\frac{d}{ds}(M \cos \theta) = 0; \quad \frac{d}{ds}(M \sin \theta) = f, \quad (1.2)$$

kjer je θ kot med tangento na trajektorijo in x -osjo (Sl. 2). Zapisati moramo še proces, ki bistveno vpliva na redčenje vzgonskega curka. Gre za t.i.m. vnos ali zajem ('entrainment') okolne tekočine v curek, s čimer se spremeni pretok volumna vzdolž trajektorije curka:

$$\frac{dQ}{ds} = E = 2\pi b \alpha u(s). \quad (1.3)$$

Spremembo pretoka na enoto dolžine curka E smo zapisali kot sorazmerno produktu med obsegom curka pri polmeru b , pri katerem pade hitrost curka na 1/e vrednosti na osi curka, in hitrostjo $u(s)$ na osi curka (Fischer in drugi, 1979). Sorazmernostni koeficient vnosa α je eksperimentalno (numerično) določen, o njem bo še tekla beseda.

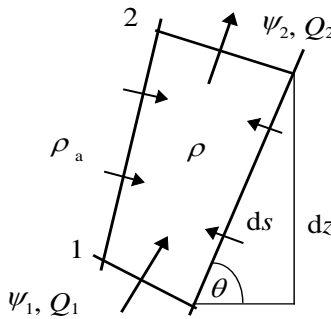


Sl. 2.a) Skica vertikalnega profila gostote vodnega stolpa ρ_a , ki ima pri difuzorju ($z = 0$) vrednost ρ_0 . b) Skica vzgonskega curka, ki izhaja iz odprtine v izhodišču koordinatnega sistema. Polmer curka, pri katerem upade hitrost (Gaussov profil) na vrednost 1/e, je enak b .

Iz Sl. 3 je razvidno, da se vzdolž dolžine ds curka spremeni pretok volumna za $dQ = Eds$, medtem ko se spremeni pretok mase za $d\psi = E\rho_{ads}$. Za Q in ψ upoštevajmo izraza (1.1) pa dobimo zvezi

$$\frac{d\left(\int \rho_0 u dA\right)}{ds} = E\rho_0; \quad \frac{d\left(\int \rho u dA\right)}{ds} = E\rho_a, \quad (1.4)$$

od tod pa sledi



Sl. 3. Skica majhnega dela vzgonskega curka dolžine ds in gostote ρ , vzdolž katerega se zaradi turbulentnega vnosa spremeni volumski pretok med presekomoma 1 in 2 za Eds ter masni pretok za $E\rho_a ds$.

$$\frac{d}{ds} \left[\int (\rho - \rho_0) u dA \right] = (\rho_a - \rho_0) E. \quad (1.5)$$

Na levi strani (1.5) zapišimo $\rho - \rho_0 = \rho_a - \rho_0 + \rho - \rho_a = \rho_a - \rho_0 - \Delta\rho$, ponovno upoštevajmo (1.1) za Q in B . Zavedamo se, da ρ_0 ni funkcija poti s vzdolž trajektorije. Leva stran (1.5) tako postane: $Q d\rho_a / ds - (\rho_0/g) dB / ds + (\rho_a - \rho_0) dQ / ds$. Upoštevajmo, da se pretok volumna na poti ds spremeni: $dQ/ds = E$. Tako se (1.5) poenostavi:

$$\frac{dB}{ds} = \frac{g}{\rho_0} \frac{d\rho_a}{ds} Q. \quad (1.6)$$

To pa je enačba za spremembo pretoka vzgona vzdolž vzgonskega curka, ki skupaj z (1.2) in (1.3) tvori sistem enačb za pretoke Q , M in B ter naklonski kot θ . Sedaj pa predpostavimo, da se hitrost u lahko zapiše kot produkt amplitude $u(s)$ in brezdimenzijske funkcije ω , ki podaja radialno odvisnost hitrosti $u(s, r) = u(s) \omega(r/b(s))$, kjer je kvocient $r/b(s)$ funkcija tako r kot s . Podobno zapišemo gostotno razliko $(\rho_a - \rho) = \Delta\rho = \Delta\rho(s) \omega(r/\lambda b)$, kjer pa je $1 < \lambda < 2$. Ker je predpostavljena funkcija za prečno odvisnost ω v obeh primerih ista, pogoj $\lambda > 1$ pomeni, da bo prečni profil gostote (gostotne razlike) širši od profila hitrosti, kar je bilo eksperimentalno ugotovljeno (Fischer in drugi, 1979). Končno predpostavimo, da je prečni profil Gaussov, $\omega(r/\lambda b) = e^{-(r/\lambda b)^2}$, pa zapišemo

$$u(s, r) = u(s) e^{-r^2/b^2}; \quad \Delta\rho(s, r) = \Delta\rho(s) e^{-r^2/\lambda^2 b^2}. \quad (1.7)$$

Nastavka (1.7) vstavimo v izraze za Q , M in B v (1.1), kjer za dA vzamemo ploščino kolobarja $2\pi r dr$ in integriramo po polmeru od 0 do ∞ . Tako dobimo

$$Q = \pi u(s) b^2(s); \quad M = \frac{\pi u^2(s) b^2(s)}{2}; \quad B = \frac{\pi g \lambda^2 \Delta \rho(s) u(s) b^2(s)}{\rho_0(1 + \lambda^2)} \quad (1.8)$$

in za silo f

$$f = \frac{\pi \lambda^2 g \Delta \rho(s)}{\rho_0} b^2(s). \quad (1.9)$$

Integralne količine Q , M in B v (1.8) vstavimo skupaj z (1.9) v sistem enačb (1.2), (1.3) in (1.6) in dobimo:

$$\frac{d(u b^2)}{ds} = 2\alpha b u, \quad (1.10)$$

$$\frac{d(u^2 b^2 \cos \theta)}{ds} = 0, \quad (1.11)$$

$$\frac{d(u^2 b^2 \sin \theta)}{ds} = \frac{2g\Delta\rho}{\rho_0} \lambda^2 b^2, \quad (1.12)$$

$$\frac{d(\Delta\rho u b^2)}{ds} = \frac{(1+\lambda^2)}{\lambda^2} u b^2 \frac{d\rho_a}{ds}. \quad (1.13)$$

Sistem enačb (1.10) - (1.13) moramo prevesti v sistem enačb za razvoj spremenljivk u , b , θ in $\Delta\rho$ ($=\rho_a - \rho$, kjer je ρ gostota na osi curka), ki so funkcije poti s , ki jo opravi element tekočine na osi curka med dviganjem v stratificirano tekočino. Zato izraz v oklepaju (1.11) odvajamo po s kot produkt $u \cos \theta$ ter $u b^2$, kjer za slednjega uporabimo zvezo (1.10). Tako dobimo

$$\frac{d\theta}{ds} = \frac{\cos \theta}{u \sin \theta} \frac{du}{ds} + \frac{2\alpha \cos \theta}{b \sin \theta}. \quad (1.14)$$

Podobno naredimo z izrazom v oklepaju zvez (1.12)

$$u b^2 \left[\sin \theta \frac{du}{ds} + u \cos \theta \frac{d\theta}{ds} \right] + 2 b u^2 \alpha \sin \theta = \frac{2g\Delta\rho}{\rho_0} \lambda^2 b^2. \quad (1.15)$$

V (1.15) vstavimo $d\theta/ds$ iz (1.14), množimo s $\sin \theta / u b^2$ in dobimo prvo iskano enačbo

$$\frac{du}{ds} = \frac{2g\lambda^2 \Delta \rho}{\rho_0 u} \sin \theta - \frac{2\alpha u}{b}. \quad (1.16)$$

Sedaj pa v (1.10) nadomestimo du/ds z desno stranjo (1.16) in dobimo drugo enačbo

$$\frac{db}{ds} = 2\alpha - \frac{g\lambda^2 \Delta\rho b}{\rho_0 u^2} \sin \theta. \quad (1.17)$$

Nato še enkrat izkoristimo du/ds iz (1.16) in vstavimo v (1.14). Tako pridobimo tretjo enačbo

$$\frac{d\theta}{ds} = \frac{2g\lambda^2 \Delta\rho}{\rho_0 u^2} \cos \theta. \quad (1.18)$$

Poslednjo enačbo za $\Delta\rho$ izpeljemo iz (1.13), kjer oklepaj na levi odvajamo kot produkt $\Delta\rho$ in ub^2 . Za odvod $d(ub^2)/ds$ uporabimo (1.10). Dodatno upoštevajmo, da gostota okolne tekočine ni neposredno funkcija opravljenih poti s , ki jo opravi delec vzgonskega curka, ampak le višine z . Ker velja $ds \sin\theta = dz$ (Sl. 3), nadomestimo $d\rho_a/ds$ na desni strani (1.13) s $\sin\theta d\rho_a/dz$. Četrta enačba tako postane

$$\frac{d\Delta\rho}{ds} = \frac{(1+\lambda^2)}{\lambda^2} \frac{d\rho_a}{dz} \sin \theta - \frac{2\alpha \Delta\rho}{b}. \quad (1.19)$$

1.3 Spremljajoče enačbe, parametri in začetni pogoji modela

S štirimi enačbami (1.16)-(1.19) smo zapisali razvoj štirih spremenljivk med dviganjem efluenta. Te so: hitrost u na osi curka, polmer b , pri katerem pade hitrost na 1/e od tiste v sredini, naklonski kot θ in gostotna razlika $\Delta\rho$ med gostoto na osi curka in gostoto morske vode na enaki višini, kot se nahaja središče namišljene rezine tekočine. Ta se nahaja na mestu curka do katerega je prispel majhen element tekočine na osi curka s trenutno hitrostjo u , ki je opravil pot s od odprtine. Tanka rezina tekočine, za katero smo zapisali pretoke volumna, gibalne količine in vzgona, ima debelino (višino) ds , njena os pa oklepa kot θ z vodoravnou osjo x . Dodajmo še enačbi za koordinate središča vzgonskega elementa (x,z) :

$$\frac{dx}{ds} = \cos \theta; \quad \frac{dz}{ds} = \sin \theta. \quad (1.20)$$

Pri tem se zavedamo, da sta koordinati x in z izpeljani iz odvisne spremenljivke θ in neodvisne spremenljivke s . Zato sta enačbi (1.20) le pridruženi k sistemu štirih enačb (1.16)-(1.19).

Poleg koordinate središča rezine efluenta pa želimo sproti opazovati tudi faktor redčenja odplak. Naj je dm_c masa tiste snovi v elementu, ki ni bila vnešena

iz okolice, temveč je iztekla v času dt iz odprtine. Tedaj skozi zgornjo ploskev rezine efluenta odteče ravno toliko mase snovi (dm_c), kolikor jo priteče v rezino skozi spodnjo ploskev. Takšno sklepanje je na mestu za tiste snovi v efluentu, katerih koncentracija v okolnem morju je mnogo manjša. Podobno kot pri izpeljavi za pretoke volumna, mase in vzgona, tudi tukaj najprej zapišemo pretok mase snovi skozi valjasto cev $d\psi_c = dm_c/dt = 2\pi Crdrds/dt = 2\pi Crudr$, kjer je $C = dm_c/dV$ koncentracija snovi. Seveda ponovno predpostavimo Gaussov profil hitrosti u kot funkcijo r z osrednjo vrednostjo $u(s)$, za koncentracijo C pa predpostavimo enako odvisnost od r in s , kot smo jo za $\Delta\rho$, oboje najdemo v (1.7). Z integracijo po vseh ceveh polmerov od 0 do ∞ dobimo masni pretok polutanta skozi namišljeno rezino, ki je pravokotna na os izliva:

$$\Psi_c = \pi \frac{\lambda^2 C(s) u(s) b^2(s)}{1 + \lambda^2}. \quad (1.21)$$

Ker pa je pot s , ki jo opravi element tekočine na osi vzgonskega curka, poljubna, se vzdolž dviganja ohranja produkt

$$C(s)u(s)b^2(s) = C_0^* u_0 b_0^2, \quad (1.22)$$

kjer $C_0^* = C(s_0)$ ni začetna koncentracija polutanta neposredno pri iztoku, pač pa koncentracija malo dlje od odprtine, na razdalji $s_0 \approx 6,2 D$, kjer je D premer odprtine (Featherstone, 1984). Na tej oddaljenosti od odprtine je že prisoten t.i.m. režim 'vzpostavljenega toka' (ZEF - 'zone of established flow). Od odprtine do območja ZEF ($s < 6 D$) pa je t.i.m. področje 'vzpostavljanja toka' (ZFE - 'zone of flow establishment'), v katerem je hitrost sredice curka praktično neodvisna od oddaljenosti od odprtine (Fischer in drugi, 1979). Turbulanca v resnici doseže ravnovesje na malo večji oddaljenosti od odprtine (pribl. $10 D$), vendar pa ne bo storjena velika napaka, če bomo v modelu pričeli opazovati razvoj vzgonskega curka na oddaljenosti $6,2 D$.

Preostane nam, da količine, ki v (1.22) nastopajo šele na razdalji s_0 od odprtine, povežemo s količinami neposredno pri odprtini. Še prej ocenimo Reynoldsovo število Re pri odprtini. Ker je $Re = u_0 D / \nu$, kjer je $\nu \approx 10^{-6} \text{ m}^2/\text{s}$ kinematična viskoznost, premer odprtine $D = 0,1 \text{ m}$, bo Re med $0,5 - 2,5 \cdot 10^5$ pri začetnih hitrostih iztekanja u_0 med $0,5$ in $2,5 \text{ m/s}$. To pomeni, da je iztekanje zagotovo turbulentno, zato lahko mirno privzamemo, da je koncentracija polutanta

pri iztoku iz odprtine praktično enaka po vsem preseku odprtine. Zato velja za pretok polutanta pri odprtini:

$$\psi_c = \frac{dm}{dV} \frac{dV}{dt} = C_0 Q_0 = C_0 \frac{\pi u_0 D^2}{4}, \quad (1.23)$$

kjer smo že upoštevali, da je hitrost sredice curka pri odprtini (znotraj območja vzpostavljanja toka -ZFE) praktično enaka tisti na oddaljenosti s_0 od odprtine: $u(s=0) = u(s_0) = u_0$. Znotraj območja ZFE zajemanje okolne vode še ne pride do izraza, zato se v tem območju ohranja (specifični) pretok gibalne količine, ki ga opredelimo s količinami pri odprtini: $M = M_0 = \pi u_0^2 D^2 / 4 = M(s_0)$. Na oddaljenosti s_0 od odprtine že velja območje vzpostavljenega toka in zato lahko za $M(s_0)$ uporabimo izraz (1.8), kjer s nadomestimo z s_0 . Ponovno upoštevajmo, da je $u_0 = u(s_0)$ in dobimo polmer b_0 pri $s = s_0$ izražen s premerom odprtine:

$$b_0 = D/\sqrt{2}. \quad (1.24)$$

Pri oddaljenosti $s_0 = 6,2 D$ sta profila hitrosti in koncentracije določena po (1.7) in je zato masni pretok polutanta ψ_c določen z (1.21), kjer pa je $s = s_0$. Premer $D = 0,1$ m je enak za vse odprtine na starem in novem difuzorju. Ker se na poti od odprtine do s_0 nič polutanta ne izgubi, niti pridobi, lahko enačimo pretok (1.21) s tistim pri odprtini po (1.23) in upoštevamo začetni polmer curka po (1.24). Tako dobimo

$$C_0^* = \frac{C_0(1 + \lambda^2)}{2\lambda^2}, \quad (1.25)$$

kjer je $C_0^* = C(s_0)$, $C_0 = C(0)$, λ pa je konstanta, ki jo bomo določili s kalibracijo modela (Fischer in drugi, 1979: $\lambda = 1,2$; Featherstone, 1984: $\lambda = 1,16$). V izraz za ohranitev pretoka mase polutanta (1.22) vstavimo b_0 iz (1.24) in C_0^* iz (1.25) in zapišemo izraz za redčenje *sredice* vzgonskega curka podobno kot sta to storila Fan in Brooks (1966)

$$S(s) = \frac{C_0}{C(s)} = \frac{4\lambda^2 u(s)b^2(s)}{(1 + \lambda^2)u_0 D_0^2}, \quad (1.26)$$

vendar pa v števcu nastopa koncentracija pri odprtini C_0 (enaka koncentraciji v cevi izpusta) namesto koncentracije C_0^* pri začetku območja vzpostavljenega toka curka. Izraz (1.26) velja za poljuben polutant v odplaki, ki ga praktično ni v okolni tekočini. Faktor, ki dodatno nastopa v (1.26) je $2\lambda^2/(1+\lambda^2) = 1,15$ (oz. 1,18), če je $\lambda = 1,16$ (oz. 1,2), kar pomeni dodatno povečanje faktorja dilucije za 15 - 18 %.

Povzemimo začetne vrednosti količin, ki neposredno nastopajo v sistemu enačb, katerega bomo reševali z numeričnim modelom:

$$s_0 = 6,2 D, \quad (1.27)$$

$$b_0 = 2^{-1/2} D, \quad (1.28)$$

$$u_0 = 4Q_0/\pi D^2, \quad (1.29)$$

$$\theta_0 = \theta(s=0), \quad (1.30)$$

$$(\Delta\rho)_0 = (1+\lambda^2)(\rho_0 - (\rho)_0)/2\lambda^2. \quad (1.31)$$

V (1.30) smo upoštevali, da vzgonska sila v območju vzpostavljanja toka (ZFE) zagotovo še ne spremeni smeri širjenja curka in je ta na mestu $s = s_0$ enaka tisti pri odprtini, kjer je $s = 0$. Gostotno razliko $(\Delta\rho)_0$ pri $s = s_0$ v (1.31) smo izrazili z razliko gostot $(\rho_0 - (\rho)_0)$, kjer je $\rho_0 = \rho_a(s = 0)$, $(\rho)_0$ pa je začetna gostota odplak pri odprtini. Pri tem smo se naslonili na (1.25). Zaradi enostavnosti smo postavili:

$$(\rho)_0 = 1000,0 \text{ kg/m}^3. \quad (1.32)$$

Poleg tega pa smo opredelili tudi začetni koordinati curka:

$$x_0 = s_0 \cos \theta_0; \quad z_0 = s_0 \sin \theta_0, \quad (1.33)$$

ki ju sproti izračunavamo skupaj s faktorjem redčenja. Slednji je na začetku poti ($s = s_0$) po (1.26):

$$S_0 = 2\lambda^2/(1+\lambda^2), \quad (1.34)$$

kar je med 1,15 in 1,18, pač odvisno od λ .

Na koncu je potrebna še beseda o drugem parametru - parametru zajemanja okolne vode α , ki nastopa v (1.3). Fischer in drugi (1979) navajajo dve možnosti. Po eni strani je lahko $\alpha = \text{konst.}$ vzdolž dviganja elementa v curku. Tedaj razlikujemo režim curka ("jet"), v katerem je $\alpha = \alpha_j$, od režima izliva ("plume"), ko je $\alpha = \alpha_p$. Vrednost konstant je:

$$\alpha_j = 0,0535 \pm 0,0025; \quad \alpha_p = 0,0833 \pm 0,0042. \quad (1.35)$$

Seveda je potrebno oceniti, v katerem režimu se curek nahaja. Pričakujemo, da se bo vzgonski curek v bližini odprtine, ko ima še veliko hitrost, obnašal predvsem kot curek, kjer je pomemben pretok gibalne količine. V tem območju se curek ne ukrivi in obrži začetni nagib θ_0 . Dlje od odprtine pa se vede kot vzgonski curek ali vzgonski izliv, kjer igra glavno vlogo pretok vzgona. Zapišimo merilo za oddaljenost, pri kateri že prevladuje drugi (vzgonski) režim zaradi delovanja

vzgonske sile (Fischer in drugi, 1979) in pri kateri se vzgonski curek zasuka navzgor, če že prej ni bil vertikalno usmerjen:

$$l_M = \frac{M_0^{3/4}}{B_0^{1/2}} = \left(\frac{\pi}{4}\right)^{1/4} \frac{u_0}{\sqrt{g \Delta \rho / (D \rho_0)}}, \quad (1.36)$$

kjer je $M_0 = u_0^2 (\pi D^2)/4$ začetni pretok gibalne količine, $B_0 = Q_0 g \Delta \rho / \rho_0$ pa začetni pretok vzgon, v katerem nastopa začetni volumski pretok $Q_0 = u_0 (\pi D^2)/4$. Na oddaljenostih $s > l_M$ od odprtine postane pretok vzgonu pomembnejši od pretoka gibalne količine curka. Naredimo oceno območja vrednosti za l_M . V globini več kot 20 m (Mavrič V., 1979: globina difuzorja je 20,7 m) je vrednost gostote ρ_0 morske vode v Tržaškem zalivu prav gotovo višja od 1020 kg/m^3 in nižja od 1028 kg/m^3 , kar izhaja iz sezonskih nihanj temperatur in nepredvidenih, relativno majhnih fluktacij slanosti (Malačič, 1991). Za začetno gostoto odplak (ρ_0) privzamemo po (1.32) 1000 kg/m^3 in tako ocenimo, da je $\Delta \rho / \rho_0$ med 0,02 in 0,03. Hitrost iztekanja u_0 ocenimo (Malačič, 1997), da je med 0,5 m/s do 2,5 m/s. Tako iz (1.36) sledi ocena

$$(l_M)_{\min} = 0,3 \text{ m}; \quad (l_M)_{\max} = 1,7 \text{ m}. \quad (1.37)$$

V večini primerov dviganja vzgonskega curka, kjer je dvig okoli 10 m, torej prevladuje režim vzgonskega curka oz. izliva. Zato bomo v primeru, ko bi se naj α vzdolž dviganja vzgonskega elementa ne spreminal, privzeli, da je $\alpha = \alpha_p$ po (1.35).

V modelu pa smo upoštevali tudi primer, ko α ni konstanten, ampak funkcija Richardsonovega (Ri) števila odprtine (Fischer in drugi, 1979):

$$Ri = \frac{QB^{1/2}}{M^{5/4}} = \sqrt{\frac{4\sqrt{2\pi}\lambda^2}{(1+\lambda^2)} \left(\frac{gb\Delta\rho}{\rho_0 u^2} \right)}. \quad (1.38)$$

Blizu odprtine difuzorja nastopata pretoka Q_0 in M_0 . Vpeljimo značilno razdaljo l_Q (v neposredni bližini odprtine), znotraj katere prevladuje vpliv specifičnega pretoka volumna Q_0 :

$$l_Q = \frac{Q_0}{M_0^{1/2}}. \quad (1.39)$$

Med razdaljama l_Q in l_M pa prevladuje specifični pretok gibalne količine M_0 . Ri število odprtine je pri odprtini definirano kot: $Ri_0 = l_Q/l_M = Q_0 B_0^{1/2} / M_0^{5/4}$. Iz (1.39) sledi za krožno odprtino, da je $l_Q = \pi^{1/2} D / 2 = 0,89D$, kar je manj kot 9 cm v našem

primeru. Tako smo dobili, da je l_Q več desetkrat manjša od l_M . Desno stran (1.38) smo dobili z upoštevanjem pretokov Q , M in B po (1.8). Funkcija, ki podaja odvisnost α od Ri pa je

$$\alpha = \alpha_j \exp \left[\ln \left(\frac{\alpha_p}{\alpha_j} \right) \left(\frac{Ri}{Ri_p} \right)^2 \right], \quad (1.40)$$

kjer je $Ri_p = 0,557$ konstanta, in sicer Richardsonovo število za popoln izliv, v katerem je pomemben le pretok vzgona, brez prehodnih območij v katerih sta pomembna pretok gibalne količine in pretok volumna.

2. NUMERIČNI PROGRAM

2.1 *Namen programa*

Namen numeričnega programa je reševanje sistema štirih navadnih diferencialnih enačb prvega reda (1.16)-(1.19) skupaj s spremljajočima enačbama (1.20) in (1.26). Na tem mestu jih ponovno zapišimo:

$$\frac{du}{ds} = \frac{2g\lambda^2 \Delta\rho}{\rho_0 u} \sin \theta - \frac{2\alpha u}{b}, \quad (2.1)$$

$$\frac{db}{ds} = 2\alpha - \frac{g\lambda^2 \Delta\rho b}{\rho_0 u^2} \sin \theta, \quad (2.2)$$

$$\frac{d\theta}{ds} = \frac{2g\lambda^2 \Delta\rho}{\rho_0 u^2} \cos \theta, \quad (2.3)$$

$$\frac{d\Delta\rho}{ds} = \frac{(1+\lambda^2)}{\lambda^2} \frac{d\rho_a}{dz} \sin \theta - \frac{2\alpha \Delta\rho}{b}, \quad (2.4)$$

pri čemer so začetne vrednosti spremenljivk (1.27)-(1.31). Dodani sta še spremljajoči enačbi (1.20) in (1.26) za koordinati trajektorije elementa vzgonskega curka in faktor redčenja:

$$\frac{dx}{ds} = \cos \theta; \quad \frac{dz}{ds} = \sin \theta, \quad (2.5)$$

$$S(s) = \frac{C_0}{C(s)} = \frac{4\lambda^2 u(s) b^2(s)}{(1+\lambda^2) u_0 D_0^2}. \quad (2.6)$$

Pri reševanju sistema enačb (2.1)-(2.4) skupaj z začetnimi pogoji (1.27)-(1.31) smo želeli izpolniti dva pogoja:

- Zadrževati lokalno napako (napaka numeričnega koraka pri pomiku Δs) vseh štirih odvisnih spremenljivk znotraj predpisane majhne vrednosti.
- Gradient gostote morske vode $d\rho_a/dz$ moramo poznati v poljubni višini nad odprtino. Zaradi prvega pogoja bo pomik Δs spremenljiv iz koraka v korak. Torej ne moremo vnaprej vedeti na kateri višini je potrebno poznati $d\rho_a/dz$. Problemu se izognemo z uporabo interpolacijske metode (zlepki ali "splines"), ki izračuna $d\rho_a/dz$ na poljubni višini z iz tabele vhodnih podatkov, ki je sestavljena iz parov vrednosti ($z_j, \rho_a[j]$).

Za izpolnitev prvega pogoja smo izbrali zanesljiv numeričen algoritmom "Runge-Kutta" s prilagojenim korakom (Press in drugi, 1988). Program zadržuje relativno napako vseh štirih količin u, b, θ in $\Delta\rho$ v posameznem koraku pod majhno vrednostjo $\varepsilon (= 10^{-10})$. V resnici upošteva tudi odvode količin po s , saj je željena napaka za i-to količino izražena kot

$$\Delta_n[i] = \varepsilon \left\{ \left| y[i] \right| + \left| \Delta s \frac{dy}{ds}[i] \right| \right\}; \quad i = 1..4, \quad (2.7)$$

kjer je $y[i]$ numerična vrednost ene od štirih količin. *Dejansko* napako metode $\Delta_s[i]$ pri metodi Runge-Kuta pa izračunamo tako, da za posamezno enačbo poiščemo rešitev $y(s+2\Delta s)$ na dva načina: Pri prvem načinu se pomaknemo za en korak $2\Delta s$. Pri drugem načinu pa se pomaknemo za dva koraka po Δs . Ker je metoda zapisana do petega reda natančno, razlika med obema rešitvama dá oceno za napako posamezne (i-te) količine, ki je sorazmerna z $(\Delta s)^5$. Ocena koraka Δs je opredeljena z maksimumom absolutnih vrednosti kvocienta med dejansko in željeno napako:

$$\begin{aligned} \Delta s_n &= F \Delta s_s \max \left\{ \left| \frac{\Delta_s}{\Delta_n} \right|^{[i]} \right\}_{i=1..4} & \Delta_s \leq \Delta_n \dots \text{rast } \Delta s \\ \Delta s_n &= F \Delta s_s \max \left\{ \left| \frac{\Delta_s}{\Delta_n} \right|^{[i]} \right\}_{i=1..4} & \Delta_s \leq \Delta_n \dots \text{upad } \Delta s, \end{aligned} \quad (2.8)$$

kjer je faktor $F = 0,9$. Če je $\max \{|\Delta_s/\Delta_n|\}_i > 1$, potem je napaka s korakom Δs_n večja od željene in bo korak zmanjšan (razmerje napak z eksponentom 0,25), v nasprotnem primeru pa je korak v redu: Tedaj Δs_n postane Δs_s , rezultate zapišemo

in zračunamo novi (večji) korak Δs_n po (2.8), pri čemer bo tokrat upoštevano razmerje napak z eksponentom 0,2.

Za izvedbo drugega pogoja v programu smo zopet uporabili preverjene podprograme (Press in drugi, 1988) za zlepke, ki jih bomo navedli kot 'NUMERICAL RECIPES'. Interpolacijska metoda zlepkov temelji na predhodnem izračunu drugih odvodov $d^2\rho_a/dz^2$ v skoraj vseh višinah z_j , $j = 2..N-1$, kjer je N število danih parov ($z_j, \rho_a[j]$). Za prvo in poslednjo višino smiselno predpostavimo $d^2\rho_a/dz^2 [j] = 0$, kjer je $j = 1, N$ (naravni zlepki). V prvem in poslednjem segmentu se torej gostota linearno spreminja z višino. Predpostavka je smiselna, saj je tako pri dnu, kot na gladini morja prisotna mejna plast, kjer se gostota praktično nič ne spreminja. Poleg tega je korak višine Δz pri gladini in pri dnu običajno majhen ($=0,1$ m). Tabelo globin in gostot program na začetku prebere iz zunanje datoteke. Metoda kubnih zlepkov temelji na "lepljenju" kubnih polinomov. Z njimi interpoliramo gostoto ρ_a na poljubnih globinah z med tabeliranimi vrednostmi $\rho_a[j]$ na globinah z_j . Kubni polinomi za ρ_a med posameznimi segmenti višin $[z_j, z_{j+1}]$ se ujemajo do drugega odvoda. Kadar je po uspešnem koraku Δs reševanja sistema diferencialnih enačb (2.1)-(2.4) znana nova višina $(z + \Delta z)$, kjer je $\Delta z = \Delta s \sin \theta$, podprogram poišče segment $[z_j, z_{j+1}]$, v katerem se ta višina nahaja. Nato s kubnim interpolacijskim polinomom za ρ_a izračuna tudi $d\rho_a/dz$, ki pa se znotraj segmenta spreminja kot kvadratna funkcija višine. Slednjo odvisnost smo dodali k standardni proceduri, ki so jo zapisali Press in drugi (1988).

Tako imamo poleg vrednosti štirih količin, ki so bile določene v prejšnjem koraku, določen tudi parameter okolne tekočine $d\rho_a/dz$ pri znani višini. Če smo se odločili, da se parameter vnosa okolne tekočine (morska voda) α spreminja med dviganjem odplak, potem α izračunamo po (1.40) še preden naredimo novi korak Δs . S tem imamo znane vse količine na desnih straneh sistema enačb (2.1)-(2.4) in lahko preidemo v izračun sprememb neznanih količin v naslednjem koraku.

2.2 Opis programa

Program *SPLINRUN* je napisan v programskem jeziku Pascal. V popisu podprogramov (procedur) bomo zapisali vhodne in izhodne spremenljivke tako, kot so imenovane v deklaraciji (glavi) podprograma in ne kot so (različno) imenovane pri klicanju. Nekatera značilna imena spremenljivk pri klicanju bodo navedena v oklepajih. Z oznako "odvisne" ali "neodvisne" spremenljivke v navednicah (npr. " z " in " ρ_a "), so mišljene tiste spremenljivke, ki so ali niso funkcije globine, prav gotovo pa niso funkcije neodvisne spremenljivke s , torej niso ena od štirih iskanih odvisnih spremenljivk. Nekatere od vhodnih spremenljivk so tudi izhodne spremenljivke podprogramov.

Podprogrami v *SPLINRUN* programu so naslednji:

- **ReadData** - prebere vhodne podatke. Globine (m) spremeni v višine nad difuzorjem.

Vhodne spremenljivke:

HeightArr - niz globin (m) za katere je podana ρ_a

GamArr - niz podanih gostot ρ_a - 1000,0 (kg/m³)

Izhodne spremenljivke:

NumDat - število podatkovnih parov ($z_j, \rho_a[j]$)

HeightArr - niz višin (m) nad difuzorjem

- **HUNT** - poišče segment višin $[z_j, z_{j+1}]$, v katerem se znajde nova višina z (NUMERICAL RECIPES).

Vhodne spremenljivke:

Depth - niz globin (neodvisnih količin)

n - število vrednosti v nizu *Depth*, ki bodo analizirane

x - vrednost argumenta, ki mora biti v segmentu [*Depth[jlo]*, *Depth[jlo+1]*]

Izhodne spremenljivke:

jlo - indeks, pri katerem je *Depth[jlo]* $\leq x < Depth[jlo+1]$

- **HUNTDRHO** - podobno kot **HUNT**, le da po končanih izračunih poišče indeks *jlo* za interval v katerem se nahaja ena izmed štirih *izhodnih* spremenljivk. Zato je dodana *vhodna spremenljivka* z imenom *index* (vrednosti 1..4), ki pove za katero odvisno spremenljivko gre.

- **SPLINE** - izračuna tabelo drugih odvodov, ki so potrebni za zlepke (NUMERICAL RECIPES)

Vhodne spremenljivke:

x - niz vrednosti "neodvisne" spremenljivke (*HeightArr*)

y - niz vrednosti "odvisne" spremenljivke (*GamArr[j] = ρ_a[j] - 1000,0*)

n - število vrednosti parov (*x, y*), ki naj bi bile analizirane

yp1, ypn - začetna in končna vrednost drugega odvoda gostote morja:

$$(d^2\rho_a/dz^2[1] = d^2\rho_a/dz^2[n] = 0)$$

Izhodne spremenljivke:

y2 - niz izračunanih vrednosti drugih odvodov $d^2\rho_a/dz^2[j], j = 2..n-1$

- **MakeRiAlpha** - izračuna *Ri* število in parameter vnosa α .

Vhodne spremenljivke:

y - niz trenutnih vrednosti štirih odvisnih spremenljivk

$VaryAlpha$ - znak ("Y" ali "N"), ki pove, ali se naj α spreminja

Izhodne spremenljivke:

Ri - Richardsonovo število (po (1.38))

$Alpha$ - vrednost parametra α

- SPLINDER - izračuna interpolirano vrednost, kot tudi prvi odvod s kubnim zlepkom, dopolnjen podprogram od NUMERICAL RECIPES.

Vhodne spremenljivke:

$Xcut$ - vrednost "neodvisne" spremenljivke (višine zzp), pri kateri poiščemo vrednost odvisne spremenljivke

$xklo, xkhi$ - spodnja in zgornja vrednost intervala $[xklo, xkhi]$, v katerem se nahaja $Xcut$

$yklo, ykhi$ - vrednosti "odvisnih" spremenljivk: $yklo = yklo[xklo]$,
 $ykhi = ykhi[xkhi]$

$y2klo, y2khi$ - vrednosti drugih odvodov "odvisnih" spremenljivk:
 $y2klo = y2klo[xklo]$, $y2khi = y2khi[xkhi]$

Izhodne spremenljivke:

yy - vrednost "odvisne" spremenljivke (npr. ρ_a)

$dydx$ - vrednost prvega odvoda (npr. $d\rho_a/dz$)

- DERIVS - tukaj so zapisane ključne enačbe (2.1)-(2.4) sistema. Predhodno je potrebno klicati podprograma SPLINDER in MakeRiAlpha.

Vhodne spremenljivke:

x - vrednost neodvisne spremenljivke (s)

y - niz trenutnih vrednosti štirih spremenljivk

Izhodne spremenljivke:

$dydx$ - niz štirih prvih odvodov sistema (2.1)-(2.4)

- RK4 - Runge-Kutta procedura četrtega reda (NUMERICAL RECIPES), izračuna nove vrednosti štirih odvisnih spremenljivk pri znanem koraku neodvisne spremenljivke. Klicana od RKQC.

Vhodne spremenljivke:

y - začetne (trenutne) vrednosti (štirih) odvisnih spremenljivk

$dydx$ - trenutnih vrednosti odvodov (štirih) spremenljivk

n - število odvisnih spremenljivk (enačb; $n = 4$)

x - vrednost neodvisne spremenljivke

h - vrednost danega koraka ($= \Delta s$)

Izhodne spremenljivke:

$yout$ - niz izhodnih vrednosti odvisnih spremenljivk

- RKQC - kliče RK4 in na osnovi velikosti napake metode določi korak Δs (NUMERICAL RECIPES)

Vhodne spremenljivke:

y - začetne (trenutne) vrednosti (štirih) odvisnih spremenljivk

$dydx$ - trenutnih vrednosti odvodov (štirih) spremenljivk

n - število odvisnih spremenljivk (enačb; $n = 4$)

x - vrednost neodvisne spremenljivke

$hbry$ - poskusna vrednost koraka ($= \Delta s$)

eps - vrednost relativne napake ($\varepsilon = 10^{-10}$) po (2.7)

$yscal$ - niz štirih vrednosti, ki nastopajo na desni strani (2.7)

Izhodne spremenljivke:

hdid - vrednost za Δs , ki se je obnesla

hnex - vrednost za Δs , ki bo upoštevana v naslednjem koraku

- **FAECALI** - kliče podprograme HUNT, SPLINDER, MakeRiAlpha, DERIVS in RKQC in vodi knjigovodstvo, beleži rezultate v nize glavnih spremenljivk $xp[1..NN]$ (vrednosti neodvisne spremenljivke s), $yp[1..4, 1..NN]$ (vrednosti štirih odvisnih spremenljivk), $xxp[1..NN]$, (vrednosti x -koordinate) in $zzp[1..NN]$ (vrednosti z -koordinate središča curka). NN je največje možno število izhodnih vrednosti (= 350). Podprogram zaustavi potek klicanja podprogramov, ko to ni več smiselno, oz. ko je $(x-x2)(x2-x1) \geq 0$ ali $((\theta < 0) \text{ in } (z > 0))$ ali $(z > zmax)$. Tedaj shrani še poslednji rezultat.

Vhodne spremenljivke:

ystart - začetne vrednosti (štirih) odvisnih spremenljivk

nvar - število odvisnih spremenljivk (=4)

VaryAlpha - znak ("Y" ali "N"), ki pove, ali se naj α spreminja

x1, x2 - začetna ($= 6,2D = 0,62$ m) in največja ($=100$ m) možna končna vrednost neodvisne spremenljivke s

eps - vrednost relativne napake - po (2.7) ($\varepsilon = 10^{-10}$)

s1 - začetna izbrana vrednost za Δs ($= 0,001$)

smin - najmanjša možna vrednost za Δs ($= 0,0$)

Izhodne spremenljivke:

y, dydx - nove vrednosti štirih količin in njihovih odvodov po s

nok - število uspešnih korakov

nbad - število neuspešnih korakov metode (prevelik Δs)

- **ANALYTIC** - izračuna predvideno največje redčenje na osi vertikalnega vzgonskega curka in njegovo višino nad difuzorjem pri linearni rasti gostote z višino (Fischer in drugi, 1979, Lee in Neville-Jones, 1987) brez horizontalnega toka. Namenjena je za primerjavo numeričnih rezultatov z analitično - eksperimentalnimi rešitvami.

Vhodne spremenljivke:

diameter - premer odprtine na difuzorju

dgamdz - srednja vrednost $d\rho_a/dz$ po vodnem stolpu

rho0 - vrednost gostote ρ_0 morske vode pri difuzorju

u0 - vrednost hitrosti curka pri odprtini

Izhodne spremenljivke:

ZZstra - vrednost največje višine (m) do katere se dvigne vzgonski curek

SSstra - faktor redčenja na osi curka pri največji višini

- **STRATIMIDDLE** - izpis rezultatov na izhodne datoteke v primeru, da se vzgonski curek ne dvigne do gladine. Podprogram izračuna vrednosti za faktor redčenja za vsako vrednost izhodnih spremenljivk po (2.6). Iz dveh sosednjih zapisov rezultatov, pri katerih se spremeni predznak vrednosti spremenljivki $\Delta\rho$, izračuna z linearno interpolacijo u, b, θ in redčenje S za $\Delta\rho = 0$. Podprogram izračuna $\langle d\rho_a/dz \rangle$ iz vrednosti za ρ_a pri dnu in pri gladini. Kliče podprograme HUNT, SPLINDER in ANALYTIC.
- **STRATISURFACE** - podobno kot podprogram STRATIMIDDLE, le za primer, ko vzgonski curek prileti na gladino. Zato podprogram namesto interpolacije za pogoj $\Delta\rho = 0$, ki ni dosežen, (linearno) interpolira rezultate na višino gladine (*DepthDif*) iz dveh sosednjih zapisov, ki imata vrednost višine okoli višine

gladine. Ostala opravila, klici drugih podprogramov in izpisi so podobni kot pri podprogramu STRATIMIDDLE.

- **GLAVNI PROGRAM (MAIN)** - prebere podatke za ρ_a s klicem podprograma ReadData, kliče podprogram SPLINE za določitev drugih odvodov $d^2\rho_a/dz^2$ (koeficienti za kubne polinome), izračuna ρ_0 (kliče HUNT in SPLINDER), določi začetno vrednost neodvisne spremenljivke s_0 (SS0), največjo možno vrednost za s (Ssmax), začetne vrednosti spremenljivk u , b , θ in $\Delta\rho$, začetno vrednost za Δs ($=s1$), minimalno možno vrednost za Δs ($=0$) in začetni vrednosti za Ri in α . Pokliče podprogram FAECALI, iz zaporednih vrednosti za pot s in hitrost u izračuna niz vrednosti časa. Kliče podprogram HUNTDRHO, od koder dobi vrednost indeksa $tempklo$, $\Delta\rho[tempklo] \geq 0,0$. Indeks $tempklo$ primerja s številom uspešno opravljenih korakov $kount$, s čimer izvemo, ali se $\Delta\rho = 0$ lahko pojavi znotraj vodnega stolpa. Če temu je tako, potem pokliče podprogram STRATIMIDDLE za izpis rezultatov, sicer pa pokliče podprogram STRATISURFACE.

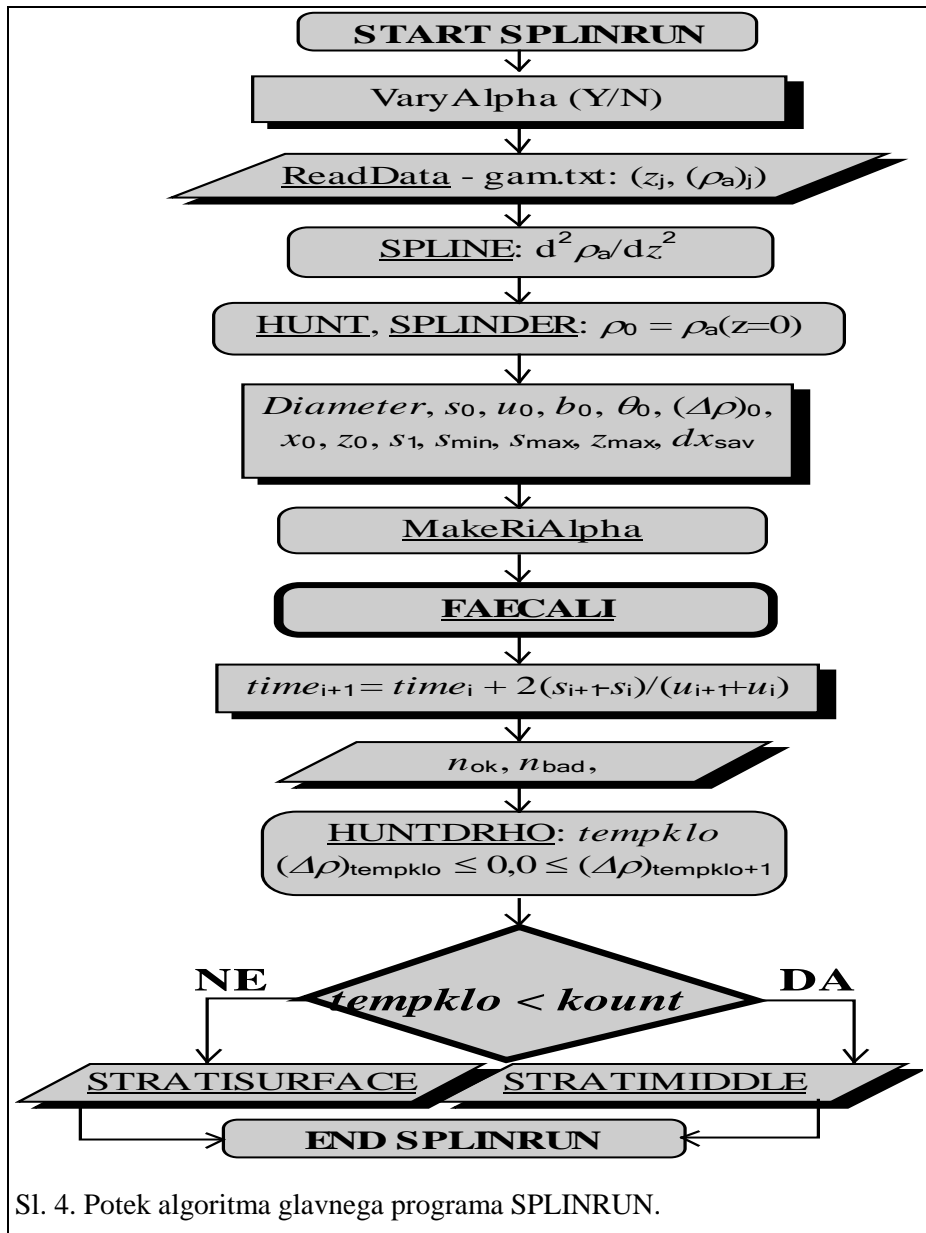
2.3 Pregled algoritma

Pregled algoritma skicirajmo le za glavni del programa brez podrobnosti, tako da shematično zajamemo bistvene sestavine. Glavni program je shematsko prikazan na Sl. 4, v Dodatku pa je izpis celotnega programa SPLINRUN.

3. KALIBRACIJA MODELJA

3.1 Uvod v kalibracijo

Na osnovi desetih terenskih meritev z multisondo (CTD) v bližnji okolici difuzorjev piranskega izpusta smo zaključili, da je iz meritev, ki jih je možno izvesti, dokaj težko določiti višino dviga vzgonskega izliva odplak. Kljub indikacijam o globini in debelini plasti odpadne vode iz CTD meritev, ki so kot preliminarna ocena služile za določitev globin jemanja vzorcev za analizo hranilnih snovi in bakterij, pa sta se kot najzanesljivejši indikator globine razredčenih odplak pokazali vsebnost amoniaka in število fekalnih koliformov. Vendar pa je vertikalna ločljivost v tem primeru omejena tako s številom vzorcev, kot tudi z določevanjem globine jemanja vzorcev (na 0,3 m).



Največji problem, ki pa se pojavi pri določevanju globine plasti odplak (običajno sta dve, po ena iz vsakega difuzorja), pa je v neznanem pretoku odplak skozi posamezen difuzor oz. izpust. Kot bomo videli iz kalibracije, je le-ta ključen podatek za napoved tako redčenja, kot tudi dviganja odplak v začetni (najpomembnejši) fazi redčenja. Zato kalibracijo modela nismo mogli in ne smeli izpeljati na osnovi terenskih meritev, pač pa na osnovi teoretičnih napovedi za dvig vzgonskega izliva ("buoyant plume"), kjer so bili ustrezni koeficienti določeni s poskusi. Kot bomo videli iz rezultatov simulacije, je premer debeline curka pri največji višini izliva (tisti premer, pri katerem pada hitrost curka na 1/e vrednosti v sredici izliva-curka) velikostnega reda 1 m. Ker so odprtine na medsebojni

oddaljenosti 10 m, se vzgonski curki kot povsem samostojne enote dvigajo do vzgonsko nevtralne plasti, kjer pa se med seboj pomešajo. Zato smo privzeli analitične izraze za dvig iz majhne odprtine (krožnega preseka) in ne iz "linijskega" izvora (izjemno dolga odprtina - dolžine difuzorja).

3.2 Osnove kalibracijske metode

Osnova za določitev maksimalnega dviga vzgonskega izliva leži v dimenzijski analizi, ki je zaradi stratifikacije morske vode dodatno zapletena. Za kalibracijo modela predpostavimo linearno spremnjanje gostote z višino

$$\rho_a = \rho_0(1 - \delta(z)), \quad (3.1)$$

poleg tega zapišimo še zvezo za vzgonsko frekvenco N

$$N^2 = -\frac{g}{\rho_0} \frac{d\rho_a}{dz} = \frac{gd\delta}{dz} = g\delta'. \quad (3.2)$$

Pri stabilnem vodnem stolpu je $\delta' > 0$, pri linearinem upadanju gostote z višino pa sta tako N kot δ' konstantna. Iz dimenzijske analize sledi, da je značilna višina z_M za okrogel (vertikalni) curek, pri katerem sta pomembna pretok specifične gibalne količine M_0 in vzgonska frekvanca N

$$z_M \propto \left(\frac{M_0}{N^2} \right)^{1/4}, \quad (3.3)$$

kjer je konstanta sorazmernosti blizu 3,8. Za curek, pri katerem prevladujejo vzgonske sile, pa se ohranja specifični pretok vzgona B_0 (Fischer in drugi, 1979, str. 342). Iz dimenzijske analize sledi za značilno višino z_B

$$z_B = 3,98 \left(\frac{B_0}{N^3} \right)^{1/4}, \quad (3.4)$$

kjer smo zapisali sorazmernostno konstanto 3,98 (Fischer in drugi, 1979, str. 396). Že v prejšnjem poglavju smo pri računu parametra zajetja α ocenili, da v našem primeru vzgonskega curka prevladuje vzgonski režim, zato bomo za linearno stratifikacijo za največjo višino uporabili kar (3.4).

Opredeliti treba še faktor redčenja. Pri izpeljavi masnega pretoka polutanta ψ_c po (1.21) smo zapisali pretok mase polutanta $d\psi_c$ skozi cev višine ds , v kateri ima polutant koncentracijo C , ki je odvisna od oddaljenosti od osi curka

(polmera) in od opravljenе poti s vzgonskega elementa na osi curka. Pretok ψ_c , ki je integral pretokov po vseh ceveh, pa zapišemo tudi kot $\langle C \rangle Q$, kjer je $\langle C \rangle$ po pretoku curka povprečena koncentracija. Od tod sledi

$$\langle C \rangle = \frac{\Psi_c}{Q} = \frac{\lambda^2}{(1+\lambda^2)} C(s), \quad (3.5)$$

kjer je $C(s)$ koncentracija na osi curka. Izraz (3.5) smo dobili z upoštevanjem pretoka ψ_c po (1.21) in Q po (1.8). Iz (3.5) sledi, da je $\langle C \rangle$ za faktor 0,59 ($\lambda = 1,2$), oz. za faktor 0,57 ($\lambda = 1,16$) manjša od koncentracije na osi curka $C(s)$. Faktor redčenja pa je definiran tudi kot razmerje med celotnim volumnom tekočine, v katerem se nahaja polutant, in volumnom, ki bi ga enaka masa polutanta zasedla sama, brez redčenja (Fischer in drugi, 1979). V primeru vzgonskega izliva opazujemo rezino (pravokotno na os izliva) volumna dV (višine ds) na določeni oddaljenosti od odprtine, skozi katero steče razredčeni polutant v času dt s pretokom Q , in jo primerjamo s podobno rezino volumna dV_0 tik pri odprtini difuzorja, skozi katero v enakem času steče enaka masa dm_c (nerazredčenega) polutanta s pretokom Q_0 . Razmerje obeh volumnov nam dá prvo definicijo za faktor redčenja S_c :

$$S_c = \frac{dV}{dV_0} = \frac{Q}{Q_0} = \frac{C_0}{\langle C \rangle}. \quad (3.6)$$

Desno stran (3.6) smo dobili z upoštevanjem ohranitve mase polutanta $dm_c = \psi_c dt$, oz. masnega pretoka polutanta $\psi_c = \int C u dA = \langle C \rangle Q = C_0 Q_0$, saj nič polutanta iz okolice naj ne bi prišlo v vzgonski curek. Za volumski pretok Q curka iz krožne odprtine uporabimo (1.8), $Q_0 = \pi u_0 D^2 / 4$, od tod sledi

$$S_c = \frac{4ub^2}{u_0 D^2}. \quad (3.7)$$

Fischer in drugi (1979, str. 330) so zapisali volumski pretok Q (pri njih μ) za izliv v vzgonskem režimu s spremenljivkama B in z (višine nad odprtino) na osnovi dimenzijske analize. Po (3.6) pa dobimo S_c kot

$$S_c = 0,15 \frac{B^{1/3} z^{5/3}}{Q_0} = 0,15 \left(\frac{g \Delta \rho z^5}{\rho_0 Q_0^2} \right)^{1/3}, \quad (3.8)$$

kjer smo upoštevali, da se v vzgonskem režimu izliva ohranja specifični pretok vzgona $B = B_0 = g(\Delta \rho / \rho_0) Q_0$, kjer je $\Delta \rho = \rho_0 - (\rho)_0$, če ni stratifikacije. Ta

pomemben zaključek sledi iz izraza (1.6): $dB/ds = 0$, če je $d\rho_a/ds = 0$. Relativna napaka sorazmernostne konstante v (3.8) pa je 10 %. Vendar pa bomo za kalibracijo modela uporabili rahlo spremenjeno definicijo za faktor redčenja, ki je tudi v veljavi in smo jo uporabili že pri zapisu spremljajočih enačb modela. Še enkrat zapišimo (1.26) malo drugače (Fan in Brooks, 1966):

$$S = \frac{C_0}{C(s)} = \frac{\lambda^2}{(1+\lambda^2)} \frac{C_0}{\langle C \rangle} = \frac{\lambda^2}{(1+\lambda^2)} S_c. \quad (3.9)$$

Na desni strani (3.9) smo izrazili $C(s)$ s $\langle C \rangle$ po (3.5) in S_c po (3.6). Faktor $\lambda^2/(1+\lambda^2)$ pa smo že izračunali pri (3.5) in je 0,59 ($\lambda = 1,2$) oz. 0,57 ($\lambda = 1,16$). Fischer in drugi (1979, str. 396) so zapisali faktor redčenja vertikalnega izliva iz krožne odprtine v nestratificirano (homogeno) morje:

$$S = 0,089 \left(\frac{g \Delta \rho z^5}{\rho_0 Q_0^2} \right)^{1/3}. \quad (3.10)$$

Sorazmernostni faktor 0,089 pa dobimo iz sorazmernostnega faktorja 0,15, ki nastopa v (3.8), če slednjega množimo z $\lambda^2/(1+\lambda^2) = 0,59$ ($\lambda = 1,2$ po Fischer in drugi, 1979). To pa je usklajeno z zvezo (3.9) med S in S_c . Tako smo z (3.10) izbrali, da je faktor redčenja S definiran kot razmerje med začetno koncentracijo in koncentracijo na osi vzgonskega curka. Tega smatramo kot analitično določen faktor redčenja na višini z nad odprtino za vzgonski izliv v homogeno (mirujoče) morje. Za faktor redčenja v linearno stratificirano morje so Fischer in drugi zapisali izraz podoben (3.10)

$$S = 0,071 \left(\frac{g \Delta \rho z_{\max}^5}{\rho_0 Q_0^2} \right)^{1/3} \quad (3.11)$$

z manjšo sorazmernostno konstanto; največja višina z_{\max} , do katere se vzgonski curek v linearno stratificiranem morju sploh dvigne, pa je kar enaka z_B za vzgonski režim po (3.4). Slednjo zapišemo malo drugače

$$z_{\max} = 3,98 \left(Q_0 \frac{g \Delta \rho}{\rho_0} \right)^{1/4} \left(- \frac{g}{\rho_0} \frac{d\rho_a}{dz} \right)^{-3/8}. \quad (3.12)$$

3.3 Povzetek kalibracijske metode

Povzemimo: Za *homogeno* morje uporabimo faktor redčenja po (3.10), višina z pa je enaka celotni višini vodnega stolpa nad difuzorjem, saj se vzgonski element ne ustavi pri poti navzgor, ker nikoli ne more imeti gostote enake gostoti morja ρ_a . Za višino gladine je v našem primeru privzeta vrednost 20,7 m (Mavrič, 1979). Za *stratificirano* morje je najbolje privzeti, da gostota linearno upada z višino po (3.1), kjer je $\delta = \text{konst}$. Tedaj ocenimo maksimalno višino dviga po (3.12), faktor redčenja pa iz (3.11). Omenjene tri zveze izračuna podprogram ANALYTIC v programu SPLINRUN. Iz rezultatov numeričnega modela pa izluščimo faktor redčenja po (1.26), ki je usklajen z izrazom (3.9), kjer v slednjega vstavimo S_c po (3.7). Pokazalo se je, da je pri linearnej stratifikaciji za največjo višino izliva z_{\max} najbolje uporabiti tisto višino, pri kateri je njegova hitrost $u = 0$, saj se vzgonski element na manjši višini, pri kateri je $\Delta\rho = 0$, še vedno dviga zaradi vztrajnosti.

Poslednja pripomba se nanaša na relativno napako ocen redčenja. Pri redčenju vzgonskega izliva v homogenem morju zapišemo relativno napako z uporabo enačb (1.26) in (3.10), kjer faktor 0,089 pišemo kot $0,15\lambda^2/(1+\lambda^2)$

$$S_e = \frac{S(s) - S(z_{\max})}{S(z_{\max})} = \frac{\left| \frac{4ub^2}{u_0 D^2} - 0,15 \left(\frac{g\Delta\rho z_{\max}^5}{\rho_0 Q_0^2} \right)^{1/3} \right|}{0,15 \left(\frac{g\Delta\rho z_{\max}^5}{\rho_0 Q_0^2} \right)^{1/3}}, \quad (3.13)$$

od koder navidezno sledi, da je relativna napaka neodvisna od vrednosti za λ . Vendar pa sta tako upadanje hitrosti kot rast debeline curka odvisna od λ , kar sledi iz enačb (2.1) in (2.2). Še bolj je odvisna napaka S_e od λ za (linearne) stratificirano morje, saj je vrednost sorazmernega koeficiente v (3.11) določena zgolj eksperimentalno, poleg tega se v tem primeru ne ohranja specifični pretok vzgona B . V numeričnem modelu smo za relativno napako za faktor redčenja v homogenem morju uporabili (3.13), v oceni relativne napake za linearne stratificirane morje pa je (3.10) nadomeščena z (3.11), zato pa nastopi faktor $\lambda^2/(1+\lambda^2)$ v prvem členu števca količnika (3.13), koeficient 0,15 pa je nadomeščen z 0,071.

3.4 Rezultati kalibracije modela

Pri kalibraciji smo se v osnovi usmerili na primerjavo ocen za dvig in faktor redčenja odplak v primeru linearne stratificirane morje ter na faktor redčenja v primeru homogenega morja, pri čemer pa smo kot prioritetno vzeli kalibracijo modela za primer stratificiranega morja. Morje je namreč stratificirano celo v zimskem času in je popolnoma homogeno morje relativno redkih pojavov. Pri linearne stratificiranem primeru smo izbrali, da gostota morske vode upada z višino z po zvezi (3.1)

$$\rho_a = \rho_0 - \Gamma z, \quad (3.14)$$

kjer smo privzeli, da je $\rho_0 = 1027,8232 \text{ kg/m}^3$ (gostota morja na nivoju odprtine difuzorja) in $\Gamma = 0,233 \text{ kgm}^{-4} = \rho_0 N^2/g$ po (3.2), od koder sledi vzhodna frekvenca $N = 0,05 \text{ s}^{-1}$. To je značilna poletna stratifikacija v Tržaškem zalivu, pri kateri se gostota spremeni za $4,66 \text{ kg/m}^3$ pri spremembi globine za 20 m. V vhodni datoteki LIMGAM.TXT zapis simuliranih podatkov (Tab. 1) izgleda podobno kot zapis podatkov, ki jih pridobimo iz meritev s CTD multi-sondo. Vhodni podatki so zato urejeni po globinah in ne po višinah.

V primeru homogenega morja lahko za gostoto morja $\rho_a (= \rho_0)$ izberemo poljubno smiselno vrednost. Privzeli smo, da je

$$\rho_a = 1025,48155 \text{ kg/m}^3.$$

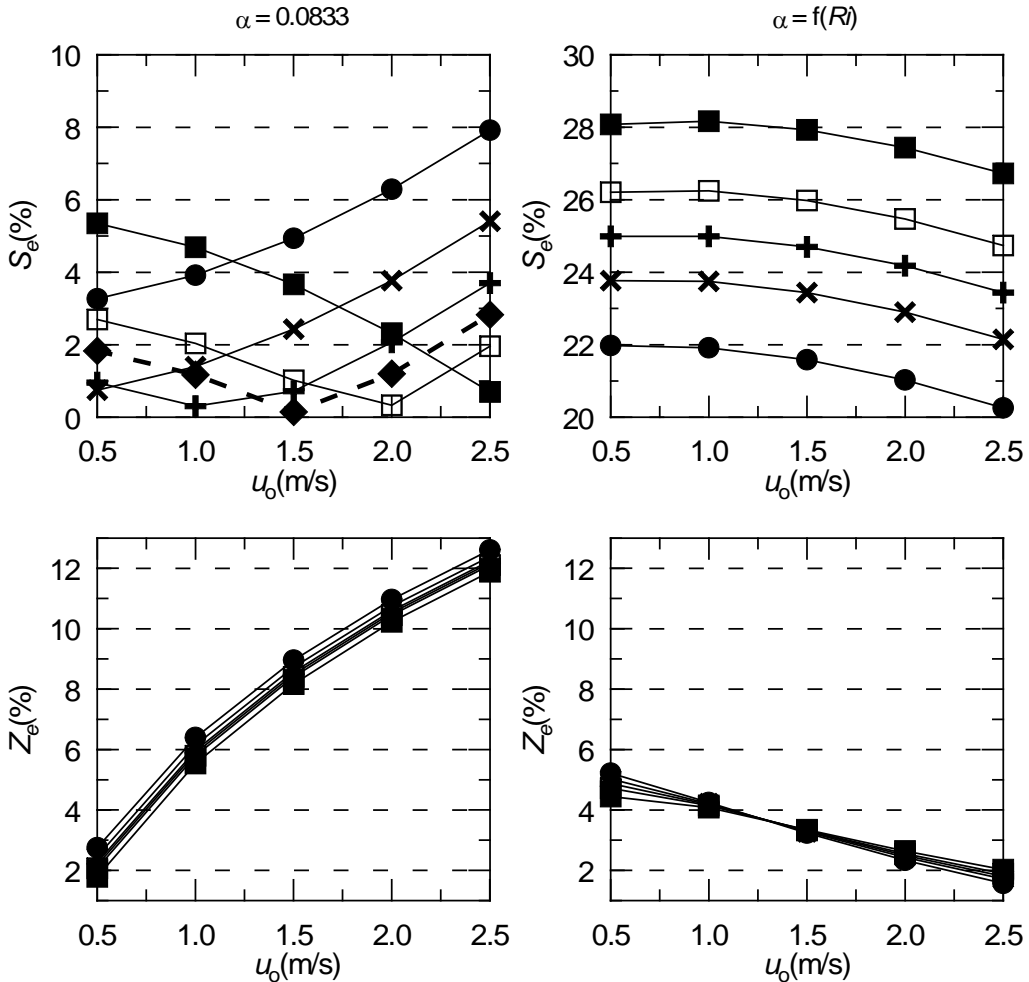
To je vrednost, ki leži med vrednostima gostote pri difuzorju in gostote na gladini pri prej izbrani linearni stratifikaciji.

0,1	999	23.0234
0.2	999	23.0467
.....
20.6	999	27.7999
20.7	999	27.8232
.....

Tab. 1. Pregled kalibracijskih podatkov v vhodni datoteki LINGAM.TXT. V prvem stolpcu se nahajajo globine (m), v drugem je število postaj, po katerih sicer povprečimo podatke o gostotah iz CTD meritev na terenu, v tretjem stolpcu pa so vrednosti gostot $\sigma = \rho - 1000$ (kg/m^3).

Kalibracijo smo pričeli z izračunom S_e odstopanja faktorja redčenja od predvidenega faktorja redčenja, ki je analitično določen z izrazom (3.13) za vzgonski curek. Poleg tega smo izračunali relativno odstopanje Z_e največje dosežene višine dviga, pri kateri je hitrost $u = 0$, od predvidene višine z_{\max} po (3.12). Pri kalibraciji smo privzeli vertikalno brizganje iz odprtine ($\theta_0 = 90^\circ$). Opazovali smo odvisnost odziva numeričnega modela na različne vrednosti začetne hitrosti curka u_0 pri različnih vrednostih parametra λ (Sl. 5). Pri zapisu osnovnih enačb modela smo zapisali, da gostotna razlika $\Delta\rho$ (oz. koncentracija C_e) upade na 1/e tiste na osi curka pri polmeru λb ($1 < \lambda < 2$), medtem ko hitrost upade pri polmeru b na 1/e tiste na osi curka.

Razlikovali smo dva načina delovanja numeričnega modela: Pri prvem (leva polovica na Sl. 5) je koeficient vnosa okolne tekočine (morske vode) konstanta, $\alpha = 0,0833$. Pri drugem načinu pa je α funkcija Ri števila po (1.38). Takoj opazimo bistveno nižje vrednosti relativne napake za faktor redčenja S_e , ko je $\alpha = \text{konst.}$ Po drugi strani pa so odmiki najvišje višine curka Z_e od pričakovane višji, ko je $\alpha = \text{konst.}$, vendar so razlike med enim in drugim načinom zajemanja okolne vode manjše. Relativen odmik Z_e pri $\alpha = \text{konst.}$ monotono raste z začetno hitrostjo curka u_0 od pribl. 2 % ($u_0 = 0,5 \text{ m/s}$) do 12 % ($u_0 = 2,5 \text{ m/s}$), skorajda neodvisno od parametra λ . V primeru $\alpha = f(Ri)$ pa Z_e monotono pada z u_0 , od pribl. 5 % ($u_0 = 0,5 \text{ m/s}$) do pribl. 2 % ($u_0 = 2,5 \text{ m/s}$). Pri manjših vrednostih hitrosti (do 1,0 m/s), ki so pogoste za oba difuzorja piranskega izpusta, je v prednosti način z $\alpha = \text{konst.}$ V tem primeru S_e monotono upada pri $\lambda = 1,1$ in monotono raste pri $\lambda = 1,17$ ter pri $\lambda = 1,2$. Ko je $\lambda = 1,13$ do 1,15 pa S_e doseže minimum pri določeni hitrosti.

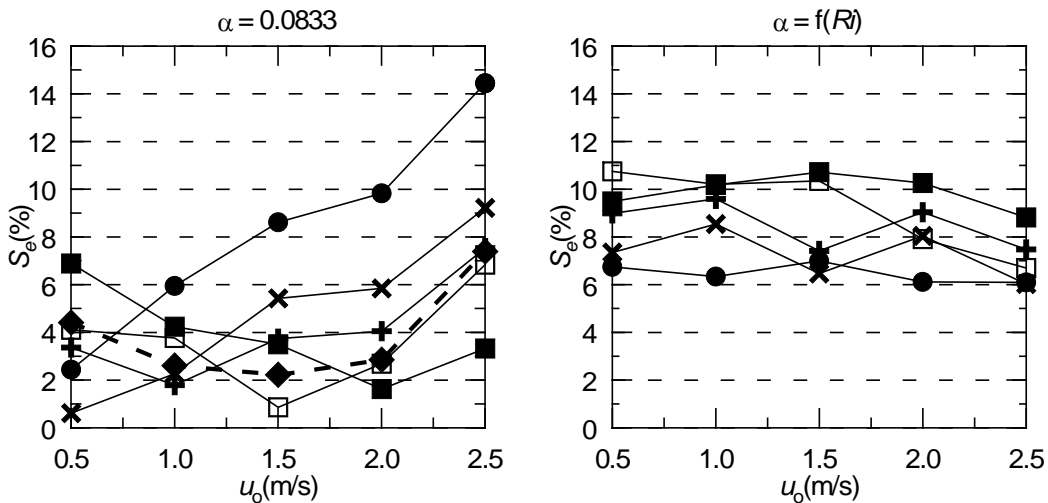


S1. 5. Absolutne vrednosti relativnih odstopanj numerično dobljenih faktorjev redčenja od predvidenih faktorjev redčenja S_e (zgoraj), kot tudi odstopanj Z_e numerično dobljenih največjih višin od predvidenih vrednosti (spodaj) za linearno stratifikacijo po (3.14) pri konstantnem koeficientu vnosa okolne tekočine α (levo) in spremenljivem koeficientu (desno), odvisnem od lokalnega Ri števila po (1.38). Parameter λ ima vrednosti 1,10 (■), 1,13 (□), 1,14 (◆), 1,15 (+), 1,17 (×) in 1,20 (●). Najugodnejši rezultati za faktor redčenja so dobljeni pri $\lambda = 1,14$ (črtkano).

Kot najugodnejša je sprejeta možnost za $\lambda = 1,14$. Tedaj S_e sprva upada z u_0 od 1,8 % do 0,2 % pri $u_0 = 1,5$ m/s, ko prične rasti do vrednosti 2,8 % pri $u_0 = 2,5$ m/s. Tako majhno relativno odstopanje od predvidenih vrednosti za faktor redčenja je skorajda idealno za numeričen model. Vedeti pa moramo, da je S_e po (3.13) absolutna vrednost relativnega odstopanja numerično določenega faktorja redčenja od analitičnega. Pri $u_0 = 0,5$ m/s je namreč numerično določen faktor redčenja $S = 46,8$, pričakovana vrednost po (3.11) pa je višja, in sicer 47,7. Pri $u_0 = 2,5$ m/s pa je numerično določen $S = 32,8$, analitična vrednost pa je enaka 31,9, torej manjša od numerične. Zato zaključimo, da je pri $\lambda = 1,14$ numerično določen faktor redčenja

S pri majhnih hitrosti manjši od predvidene analitične vrednosti, blizu hitrosti $u_0 = 1,5$ m/s sta obe vrednosti enaki (do 0,2 %), pri višjih hitrostih pa odstopanje S_e raste z u_0 , pri čemer je numerična vrednost večja od predvidene. Kadar so pri vrednostih parametra λ različnih od 1,14 vrednosti za S_e manjše od tistih pri $\lambda = 1,14$ pri manjših hitrostih ($u_0 < 1,5$ m/s), pa so vrednosti za S_e bistveno višje od tistih pri $\lambda = 1,14$ pri večjih hitrostih ($u_0 > 1,5$ m/s).

Pri homogenem morju smo opazovali le odmik faktorja redčenja od pričakovanega faktorja, saj se vzgonski curek tedaj dvigne na gladino. Sl. 6 prikazuje, da S_e pri $\lambda = 1,2$ monotono raste z u_0 , če je $\alpha = \text{konst}$. Tedaj so vrednosti



Sl. 6. Absolutne vrednosti relativnih odstopanj numerično dobljenih faktorjev redčenja od predvidenih faktorjev redčenja S_e za homogeno morje ($\rho_a = 1025,48155 \text{ kg/m}^3$) pri konstantnem koeficientu vnosa okolne tekočine α (levo) in pri koeficientu, ki je odvisen od lokalnega Ri števila (desno) po (1.38). Parameter λ ima vrednosti 1,10 (■), 1,13 (□), 1,14 (◆), 1,15 (+), 1,17 (×) in 1,20 (●). Najugodnejši rezultati za faktor redčenja so dobljeni pri $\lambda = 1,14$ (črtkano).

za S_e pri $\lambda = 1,13-1,14$ dokaj nizke in malo odvisne od hitrosti u_0 .

Za vrednost $\lambda = 1,14$, ki je bila izbrana kot najugodnejša v primeru linearne stratifikacije, vidimo, da se vrednosti za S_e za homogeno morje nahajajo v intervalu med 2 in 4,5 % za u_0 med 0,5 in 2 m/s, ki se povzponejo na skoraj 7 % pri $u_0 = 2,5$ m/s. Kadar je koeficient vnosa okolne tekočine $\alpha = f(Ri)$, pa so odstopanja od pričakovanih vrednosti višja, na celotnem intervalu hitrosti so praktično nad 6 % za vse izbrane vrednosti za λ in se s hitrostjo u_0 malo spreminja. Tako zaključimo, da je vrednost 1,14 za koeficient λ sprejemljiva tudi za homogeno morje.

4. OBČUTLJIVOST MODELA NA ZAČETNE POGOJE

Ker sta parametra α ($= 0,0833$) in λ ($= 1,14$) s kalibracijo opredeljena, lahko opazujemo odziv modela pri spremenljivih začetnih pogojih. V primeru piranskega izpusta so začetne vrednosti (u_0 , θ_0 in $(\Delta\rho)_0$) treh odvisnih spremenljivk v naravi (pri difuzorjih) variabilne; začetna širina curka, ki je opredeljena s premerom odprtine D po (1.24), pa je seveda konstantna. Od začetnih vrednosti treh količin pa se še najmanj spreminja začetna gostotna razlika $(\Delta\rho)_0$, ki je po (1.31) opredeljena z razliko med gostoto morja pri difuzorjih ρ_0 in gostoto odplak ($\rho)_0$ pri odprtini. Slednja se med letom bistveno ne spreminja, zagotovo pa so njene vrednosti med $997,1 \text{ kg/m}^3$ pri temperaturi $25,0 \text{ }^\circ\text{C}$ in $1000,1 \text{ kg/m}^3$ pri temperaturi $5,0 \text{ }^\circ\text{C}$; v obeh primerih smo upoštevali tlak 20 dbar . Zato je prej privzeta vrednost $1000,0 \text{ kg/m}^3$ za $(\rho)_0$ po (1.32) blizu zgornji meji možnih vrednosti. Gostota morja pri dnu ρ_0 pa ima običajno vrednosti nad 1025 kg/m^3 in pod 1028 kg/m^3 . Zato bo gostotna razlika $\rho_0 - (\rho)_0$ med 25 in 31 kg/m^3 , kar pomeni relativno spremembo od $\pm 10,7 \%$ okoli srednje vrednosti 28 kg/m^3 . Kvečjemu tolika pa je tudi relativna sprememba gostotne razlike $(\Delta\rho)_0$ po (1.31), ki jo moramo upoštevati v modelu $((1 + \lambda^2)/2\lambda^2 = 0,89)$. V simulacijah smo privzeli $(\Delta\rho)_0 = 0,89 * 27,82 \text{ kg/m}^3 = 24,76 \text{ kg/m}^3$. Tako preostaneta še dve začetni vrednosti u_0 in θ_0 , ki zahtevata ločeno obravnavo.

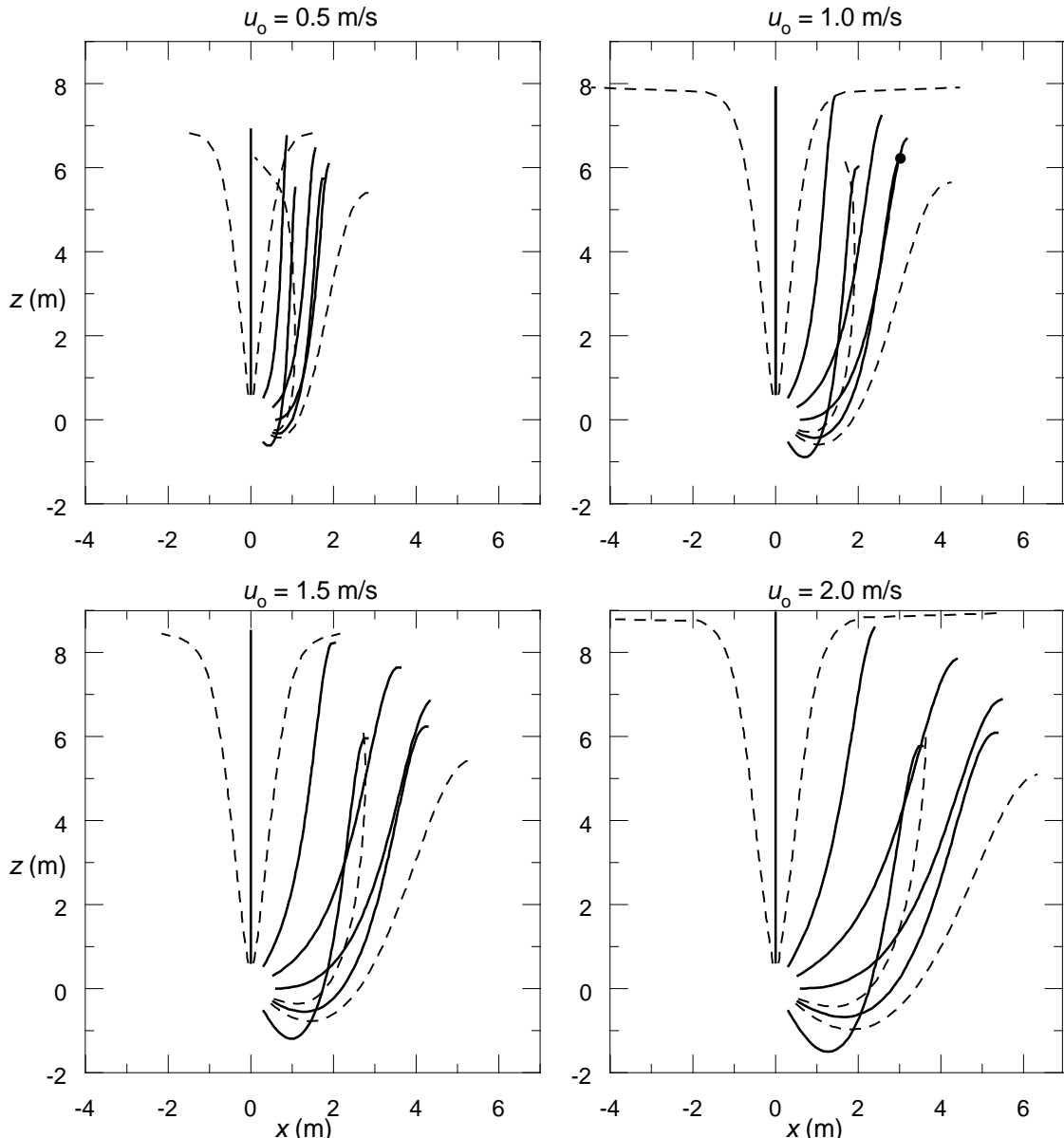
Začetni kot θ_0 med osjo curka pri odprtini in vodoravno osjo je seveda opredelen s samo konstrukcijo difuzorja in se zato časovno ne spreminja - če ne pride do nepričakovanih "naravnih posegov", kot je npr. vleka difuzorja z ribiško globinsko mrežo. Za difuzorja na konceh obeh izpustnih cevi je predviden začetni kot pri vseh odprtinah $\theta_0 = 0$. Vendar pa smo s podvodnimi ogledi difuzorjev ugotovili, da pri novejšem difuzorju, skozi katerega se pretaka večina odplak, ta kot je pribl. $25\text{-}30^\circ$ (na drugi strani cevi pa -30° do -25°), medtem ko je razpon vrednosti za θ_0 pri starejšem difuzorju mnogo večji, od pribl. 45° na konici difuzorja do 90° nekje na sredi difuzorja. To pomeni, da je starejši difuzor torzijsko zasukan, poleg tega, da je bil z vleko mreže tudi premaknjen in da brizga odplake tudi navpično navzgor in navzdol - odprtine so navrtane izmenično z ene in druge

strani cevi difuzorja. Nedoločenost vrednosti začetnega kota pomeni, da moramo obravnavati občutljivost modela na izliv pri različnih θ_0 .

Za začetne vrednosti hitrosti pa ocenjujemo, da se spreminja v ritmu sprememb pretoka odplak. Dnevne meritve obratov tlačnih črpalk so pokazale, da se pretok lahko spreminja od 40 l/s (okrog štirih zjutraj) do 130 l/s (od 8^h do 10^h zjutraj in od 20. do 24. ure zvečer), kar pomeni pribl. 100 % dnevne spremembe pretoka. Prav tako se spreminja tudi začetna hitrost efluenta u_0 skozi odprtino (Malačič, 1997).

Zato smo opazovali odziv numeričnega modela v primeru linearno stratificiranega morja po (3.14) tako pri različnih vrednostih začetne hitrosti curka u_0 (od 0,5 m/s do 2 m/s s korakom 0,5 m/s), kot pri različnih vrednostih začetnega kota θ_0 , ki ga curek oklepa z vodoravne osjo (od -60⁰ do 90⁰ s korakom 30⁰), pri čemer pa kota $\theta_0 = -90^0$ žal nismo mogli upoštevati. Začetna smer brizganja curka odplake je tedaj sicer navzdol, vendar se pri dnu obrne navzgor in objame cev difuzorja. To pa presega zmogljivost numeričnega modela, ki simulira pretok odplake skozi rezino vzgonskega curka, ki je pravokotna na njegovo os širjenja. Vendar pa so opravljene simulacije občutljivosti modela zelo poučne. Na Sl. 7 so prikazane trajektorije curkov z različnimi začetnimi vrednostmi hitrosti u_0 in kota θ_0 . Odprtina je vedno postavljena v koordinatno izhodišče. V neposredni bližini odprtine je upoštevano območje vzpostavljanja toka (ZFE), šele za njim se prične območje vzpostavljenega toka (ZEF) s simulacijo dviga z numeričnim modelom.

Faktor redčenja odplak (ni na Sl. 7) je seveda najnižji pri največji hitrosti iztekanja iz odprtine ($u_0 = 2,0$ m/s), ko se njegove vrednosti nahajajo v območju od 34,2 ($\theta_0 = 90^0$) do 36,1 ($\theta_0 = 0^0$). Najvišje vrednosti dosega pri najmanjši opazovani začetni hitrosti ($u_0 = 0,5$ m/s), ko je v območju od 46,9 ($\theta_0 = -60^0$) do 47,1 ($\theta_0 = 0^0$). Tako lahko hitro zaključimo, da pri izbrani hitrosti začetni kot curka z vodoravno osjo malo vpliva na faktor redčenja (spremembe manjše od 6%); pomembnejšo vlogo ima na spremembe redčenja začetna hitrost (do 30 % pri hitrostih od 0,5 do 2 m/s) pri izbranem kotu.



Sl. 7. Trajektorije vzgonskega curka (polne črte), skupaj z mejami območja curka (črtkano), pri katerih upade hitrost širjenja na $1/e$ od tiste na osi curka (pri polmeru curka b). Posamezne slike vsebujejo različne začetne vrednosti hitrosti u_0 , ki so navedene nad sliko, v vsaki sliki je prikazana trajektorija curka za vrednosti začetnega kota od -60° do 90° v intervalu po 30° , širina curka pa je zaradi preglednosti prikazana le za kota -30° in 90° . Simulacija dviga vzgonskega curka je bila opravljena za linearno stratificirano morje po (3.14) z začetnim polmerom curka $D/2^{1/2} = 0,07$ m in z začetno vzgonko razliko $(\Delta\rho)_0 = 24,76 \text{ kg/m}^3$.

Višina največjega dviga vzgonskega curka pa je bolj odvisna od začetnega kota θ_0 kot faktor redčenja. Pri hitrosti $u_0 = 0,5 \text{ m/s}$ se višina giblje med 5,5 m ($\theta_0 = -60^\circ$) in 6,9 m ($\theta_0 = 90^\circ$), pri hitrosti $u_0 = 2,0 \text{ m/s}$ pa se giblje med 5,8 m ($\theta_0 = -60^\circ$) in 8,3 m ($\theta_0 = 90^\circ$). Torej je relativna sprememba največje višine med 23 % ($u_0 = 0,5 \text{ m/s}$) in 35 % ($u_0 = 2,0 \text{ m/s}$) zaradi sprememb začetnega naklona curka θ_0 . Sprememba največje višine zaradi sprememb začetne hitrosti u_0 pa je pribl. 18 %.

Faza začetnega redčenja se hitro zaključi. Iz podatkov izhodne datoteke za risanje trenutnih vrednosti spremenljivk sledi, da doseže vzgonski curek pri hitrosti $u_0 = 0,5$ m/s največjo višino po času t_{\max} , ki se nahaja v območju od 30,0 s ($\theta_0 = 90^\circ$) do 31,5 s ($\theta_0 = -60^\circ$). Pri veliki začetni hitrosti $u_0 = 2,0$ m/s pa je razpon časa malo večji, in sicer od 27,9 s ($\theta_0 = 90^\circ$) do 33,7 s ($\theta_0 = -60^\circ$). Tako ocenimo, da začetni kot θ_0 , ki ga curek oklepa z vodoravno osjo, vpliva od 5,6 % pri majhnih hitrostih do 18,8 % pri velikih hitrostih. Pri izbranem začetnem kotu (npr. $\theta_0 = 90^\circ$) začetna hitrost manj vpliva na čas dviganja do največje višine (8,2 %). Kadar je začetna hitrost velika, le-ta hitro upade v prvih nekaj sekundah (manj kot pet sekund) in se nato skorajda linearno zmanjšuje do vrednosti nič. Pri manjših začetnih hitrostih pa je začetni upad hitrosti manjši. Lahko zaključimo, da je v našem testnem primeru pri vzgonski frekvenci $N = 0,05$ s čas dviganja pribl. 30 s in da zato pribl. velja

$$Nt_{\max} \sim 1,5, \quad (3.15)$$

od tod sledi, da je vzgonska frekvenca primerno merilo za čas dviganja vzgonskega curka. Ta ocena je še boljša od ocene $Nt_{\max} \sim 4-5$, ki so jo nedavno dobili (Fonseka in drugi, 1998) pri laboratorijskem opazovanju dviga izpuščene vzgonske tekočine, ki je bila hitro in kratkotrajno vbrizgana v laboratorijsko posodo. To je dobra simulacija za kratkotrajno delovanje izpusta pri velikih hitrostih izliva.

Omeniti je potrebno, da širina (polmer) curka izjemno močno naraste (tudi za faktor 100) pri majhni spremembi poti ($\Delta s < 0,1$ m) pri koncu poti curka, ko se le-ta približa vzgonsko nevtralni plasti. Vodoravnih črt (črtkano), ki bi ponazarjale izjemno širok curek na koncu opravljeni poti, zaradi preglednosti nismo narisali na Sl. 7, pač pa smo risanje zaključili s predzadnjo vrednostjo polmera curka b . Le-ta ni nikoli presegla vrednosti 2,3 m. To pa seveda pomeni, da smo upravičeno obravnavali izliv odplak iz posamezne odprtine. Vzgonski curki se namreč pred prihodom v vzgonsko nevtralno plast zagotovo ne združijo, saj so odprtine na obeh difuzorjih navrtane na medsebojni razdalji 10 m.

5. POVZETEK IN ZAKLJUČEK

Na osnovi primerjave med numeričnimi rezultati in pričakovanimi vrednostmi smo ugotovili, da je za faktor redčenja ujemanje numeričnih rezultatov

s pričakovanimi boljše, če je koeficient vnašanja morske vode v curek odplak α konstanten. Ocenili smo, da smo dobili najboljše ujemanje, če smo za parameter λ izbrali vrednost 1,14. Tedaj se faktor redčenja razlikuje od pričakovane vrednosti za manj kot 5 %, če je okolna tekočina (morje) homogena ali linearno stratificirana. Pri stratificiranem morju pa je pomembna tudi največja višina, do katere se vzgonski curek dvigne. Odmik numerične vrednosti največje višine od pričakovane vrednosti pa se s spremjanjem vrednosti parametra λ bistveno ne spremeni. Le-ta pri $\alpha = \text{konst.}$ raste z začetno hitrostjo u_0 od 2 % tja do 11 %, pri $\alpha = f(Ri)$ pa z u_0 upada od pribl. 5 % do 2 %, pri čemer se u_0 povečuje od 0,5 m/s do 2,5 m/s.

Simulacija občutljivosti modela je pokazala, da je v stratificiranem morju vrednost faktorja začetne dilucije od pribl. najmanj 34 ($u_0 = 2,0 \text{ m/s}$, $\theta_0 = 90^\circ$), do največ 47 ($u_0 = 0,5 \text{ m/s}$, $\theta_0 = 0^\circ$), kar pomeni, da je redčenje prve faze znotraj območja UNEP-ovih priporočil (1995), med 10 in 1000. Vendar pa se to nanaša na upad celotnega števila bakterij (Malačič, 1997), tako da bi bilo potrebno v našem primeru dobljene vrednosti za faktor redčenja še množiti s faktorjem za eksponentni upad števila bakterij, ki je tudi gotovo večji od ena. Ne glede na to pa se bo celoten faktor redčenja na koncu prve faze nahajal bližje spodnji meji navedenega intervala, kot zgornji meji. S konstrukcijo pa je to skorajda nemogoče izboljšati. Iz izraza (3.11) za stratificiran vodni stolp ter iz izraza (3.10) za homogeno morje je razvidno, da faktor redčenja raste z višino kot $z^{5/3}$, kar pomeni resno oviro za faktor redčenja v našem plitkem morju (pribl. 20 m) v primeru šibke stratifikacije, ko vzgonski curek lahko prispe na gladino. Kljub temu pa difuzor opravi svojo nalogo in znatno prispeva k redčenju odplak.

Začetni kot curka z vodoravno osjo bolj malo vpliva na faktor redčenja (manj kot 6%), mnogo bolj se ta spremeni zaradi začetne hitrosti, do 30 % (u_0 od 0,5 do 2 m/s). Nasprotno pa je višina največjega dviga vzgonskega curka precej odvisna od začetnega kota θ_0 . Najmanjša je pri najmanjših začetnih hitrostih curka in začetni usmerjenosti curka navzdol (5,5 m pri $u_0 = 0,5 \text{ m/s}$ in kotu $\theta_0 = -60^\circ$), največja pa je pri največjih opazovanih hitrostih, ko je curek usmerjen navpično navzgor (8,3 m pri hitrosti $u_0 = 2,0 \text{ m/s}$ in kotu $\theta_0 = 90^\circ$). Relativna sprememba največje višine ne presega 35 % ($u_0 = 2,0 \text{ m/s}$) zaradi sprememb začetnega naklona curka θ_0 , medtem ko je njena vrednost precej manjša (pribl. 18 %) pri spremembah začetne

hitrosti u_0 . Vsekakor lahko ugotovimo, da v primeru izbrane stratifikacije, ki ustreza srednjemu gradientu gostote v poletnem obdobju, vzgonski curek odplak nikoli ne doseže gladine morja, pač pa se razredčena odplaka horizontalno širi proč od difuzorjev v plasti, ki se nahaja na višini od 5,5 m do 8,3 m nad difuzorjem. To je seveda zelo ugodno.

Zapišimo še, da je iz rezultatov modela razvidno, da so vrednosti končnega polmera vzgonskega curka (b) manjše od 2,3 m tik pred prihodom v vzgonsko nevtralno plast. To pomeni, da je bila začetna predpostavka, po kateri smo obravnavali začetno redčenje odplake, ki izvira iz posameznih okroglih odprtin difuzorja upravičena, saj se curki do prihoda v vzgonsko nevtralno plast ne prekrivajo, ker so na začetni medsebojni razdalji 10 m. Metodo, ki obravnava redčenje iz linijskega izvora z dolžino difuzorja, je zato potrebno zavreči. Začetna faza redčenja se zagotovo zaključi v manj kot eni minutri (30 s v testnem primeru).

Numerični model smo zgradili tako kot smo ga planirali. Primerjava s pričakovanimi vrednostmi za idealizirane pogoje v morju, ki pa so dokaj reprezentativni za realne razmere (stratifikacijo), je dala zelo vzpodbudne rezultate. Na koncu smo tudi preverili občutljivost modela na spremembe v začetnih pogojih (začetna hitrost curka in začetni kot, ki ga curek oklepa z vodoravno osjo). Tako poznamo vedenje modela in ga lahko uporabimo za poljubno realno stratifikacijo, ki je in še bo na morju izmerjena.

Dodajmo, da smo z modelom dobili vpogled le v redčenje v sredici vzgonskega curka na koncu prve faze, ko le-ta pristane v vzgonsko nevtralni plasti, ali pa na gladini pri mirujočem morju. Tokovi imajo vpliv že na začetno redčenje ob dviganju vzgonskega curka, če so dovolj izraziti in je stratifikacija relativno šibka. Poleg tega je na odprtem morju redčenje tudi posledica sekundarne faze, v kateri je pomembna disperzija, ki je posledica strukture advekcijskega polja. O tovrstnih efektih bo sicer še tekla beseda v prihodnjih poročilih, simuliranje ključnega dela redčenja, ki je še vezano na konstrukcijo difuzorja, pa je s tem delom zaključeno.

Zahvala

Nosilec naloge je iskreno hvaležen dr. Milanu Ambrožiču za skrben pregled poročila in koristne pripombe.

Seznam pomembnejših količin

b	polmer curka, pri katerem hitrost upade na 1/e vrednosti na osi curka
B, B_0	specifični pretok vzgona, začetni specifični pretok vzgona
C, C_0^*, C_0	koncentracija polutanta (na osi curka), koncentracija na razdalji s_0 od odprtine, koncentracija v odprtini
$\langle C \rangle$	koncentracija polutanta, povprečena po pretoku curka ($= \Psi/Q$)
D	premer odprtine ($= 0,1 \text{ m}$)
E	priastek volumskega pretoka na enoto dolžine curka ($= dQ/ds$)
g	težni pospešek ($9,81 \text{ m/s}^2$)
G	gibalna količina
l_B, l_M, l_Q	značilna razdalja, pri kateri je pomembnen pretok B, M , oz. Q
m, m_c	masa, masa polutanta
M, M_0	specifični pretok gibalne količine, začetne gibalne količine
N	vzgonska frekvanca
Q, Q_0	volumski pretok, začetni volumski pretok curka ($=$ pretok pri odprtini)
$Re,$	Reynoldsovo število
Ri	Richardsonovo število
s, s_0	opravljena pot elementa v curku, začetna oddaljenost elementa
S, S_0, S_c	faktor redčenja, začetni faktor redčenja (pri $s = s_0$), faktor redčenja definiran kot razmerje volumnov oz. pretokov ($= Q/Q_0$)
S_e	relativen odklon faktorja redčenja od pričakovane vrednosti
u, u_0	hitrost elementa tekočine (na osi curka), začetna hitrost curka
dV	volumen elementa tekočine (vzgonskega curka)
(x, z)	par koordinat središča rezine vzgonskega curka glede na odprtino difuzorja
z_M, z_B	značilna višina, pri kateri sta pomembna M_0 in N , oz. B_0 in N
Δ_n, Δ_s	željena in dejanska napaka numerične metode
$\Delta s_n, \Delta s_s$	novi in stari pomik neodvisne spremenljivke s
$\Delta\rho, (\Delta\rho)_0$	gostotna razlika ($= \rho_a - \rho$), začetna gostotna razlika
α	koeficient vnosa okolne tekočine v vzgonski curek
ε	zgornja vrednost za relativno napako ($= 10^{-10}$)
Γ	koeficient linearnega upadanja gostote z višino ($= 0,233 \text{ kg/m}^4$)
λ	razmerje med polmerom, pri katerem pada hitrost na 1/e vrednosti na osi curka, in polmerom, pri katerem pada koncentracija na 1/e osrednje vrednosti
ν	koeficient kinematične viskoznosti vode ($10^{-6} \text{ m}^2/\text{s}$)
θ, θ_0	naklonski kot, ki ga os curka oklepa z vodoravno osjo, začetni naklonski kot
ρ, ρ_a, ρ_0	gostota odplak, gostota morske vode, začetna gostota morske vode
(ρ)	začetna gostota odplak
ω	brezdimenzijska funkcija, ki podaja radialno odvisnost za u in $\Delta\rho$ oz. C
Ψ, Ψ_c	masni pretok odplak, masni pretok polutanta

1 Dodatek A. Izvorna koda programa SPLINRUN

```

3
4 {$A+,B-,D+,E-,F-,G-,I+,L+,N+,O-,R-
5 ,S+,V+,X+}
6 {N+}
7 {$M 16384,0,655360}
8 PROGRAM SPLINRUN;
9 { "NATURAL SPLINE":}
10 { je nic v prvi in zadnji tocki }
11 { made from splindr4.pas, calibrated constants}
12 uses DOS;
13 LABEL 88,99;
14 const
15     GG = 9.806; { for the TS Gulf }
16     NN = 350; { maximum dimen. of data input}
17     kmax = 200; { max. number of results < kmax }
18     NV = 4; { Num. of Variables }
19     DepthDif = 20.7; { Mavric V,'79:}
20     { Konferencija o zastiti Jadrana, Prva Knjiga,}
21     {Hvar 79.}
22     { Sistem dispozicije odpadnih vod v Piranu,}
23     {165-174.}
24     EPS = 1.0e-10; { accuracy }
25     EPS_U = 1.0e-5;
26     Alphj = 0.0535;
27     { Fischer in drugi, 1979, page 371: }
28     Alphp = 0.0833;
29     Rip = 0.557;
30     { An Introduction to Water Quality Model.
31 A.James (Ed.)}
32     { Wiley, 1984, 234 pp., page 155: }
33     { Lambda = 1.16; = 1.2 Fischer in drugi,
34 1979, page 370}
35     Lambda = 1.14; { best numerical results }
36 type Datagram = ARRAY [1..NN] OF real;
37     glnarray = ARRAY [1..NV] OF real;
38     glarray = glnarray;
39     results = ARRAY [1..NV,1..NN] OF real;
40 var HeightArr,GamArr,y2 : Datagram;
41     NumDat,Tempklo : INTEGER;
42     Alpha,Ri : real; { Entrain. coeff., Ri number }
43     Sm : real ; { factor of dilution }
44     ZZstra, SSstra : real;
45     { height & dilut. for dgamdz = const.}
46     Diameter,gam, dgamdz : real;
47     u0,b0,theta0,gam0,Rho0,gama : real;
48     { starting velocity of the jet, b0 its width }
49     { gam0 starting density difference }
50     { theta0 starting angle of the jet}
51     Height0 : real;
52     { heigh = height above the outfall, XX
53 horizontal distance }
54     inpf,outf,outf2,outf3 : text;
55     inpname,outname,outnam2,outnam3 : string;
56     dxsav,s1,smin,SS0,Zmax,SSmax : real;
57     i,kount,nbad,nok : integer;
58     jj : byte;
59     ystart : glnarray;
60     yp: results; { dependent variables }
61     time, xp, xxp, zzp, RiArr, AlphArr : Datagram;
62     VaryAlpha : char;
63     DirInfo : SearchRec;
64

```

```

65 PROCEDURE ReadData(var NumDat : integer;
66                     var HeightArr,GamArr : Datagram);
67 {*****}
68 var ii : integer;
69     skip, skip1,skip2,skip3,skip4 : real;
70 Begin
71     NumDat := 0;
72     while not eof(inpf) do {find the number of data
73     }
74     begin
75         readln(inpf);
76         Numdat := succ(Numdat);
77     end;
78     reset(inpf);
79     for ii := Numdat downto 1 do
80     begin
81         { get the arrays of heights and densities }
82         { read from lingam.txt: }
83         readln(inpf,HeightArr[ii],skip,GamArr[ii]);
84         HeightArr[ii] := DepthDif - HeightArr[ii];
85     end;
86 End; { ReadData }
87
88 PROCEDURE HUNT(Depth: Datagram;
89                 n: integer;x: real; VAR jlo: integer);
90 {*** NUMERICAL RECIPES BOOK *****}
91 { calculates integer jlo for x to be between }
92 { Depth[klo] and Depth[klo+1] }
93 (* Programs using routine HUNT must define
94 TYPE
95     Datagram = ARRAY [1..n] OF real;
96 in the main routine. *)
97 LABEL 1,2,3,4;
98 VAR
99     jm,jhi,inc: integer;
100    ascnd: boolean;
101 BEGIN
102    ascnd := Depth[n] > Depth[1];
103    IF ((jlo <= 0) OR (jlo > n)) THEN BEGIN
104        jlo := 0;
105        jhi := n+1;
106        GOTO 3
107    END;
108    inc := 1;
109    IF ((x >= Depth[jlo]) = ascnd ) THEN BEGIN
110        1:   jhi := jlo+inc;
111        IF (jhi > n) THEN BEGIN
112            jhi := n+1
113        END ELSE IF ((x >= Depth[jhi]) = ascnd )
114        THEN
115            BEGIN
116                jlo := jhi;
117                inc := inc+inc;
118                GOTO 1
119            END
120    END ELSE BEGIN
121        jhi := jlo;
122        2:   jlo := jhi-inc;
123        IF (jlo < 1) THEN BEGIN
124            jlo := 0
125        END ELSE IF ((x < Depth[jlo]) = ascnd )
126        THEN
127            BEGIN
128                jhi := jlo;
129                inc := inc+inc;
130                GOTO 2

```

```

131     END
132     END;
133 3: IF ((jhi-jlo) = 1) THEN GOTO 4;
134   jm := (jhi+jlo) DIV 2;
135   IF ((x > Depth[jm]) = ascnd ) THEN BEGIN
136     jlo := jm
137   END ELSE BEGIN
138     jhi := jm
139   END;
140   GOTO 3;
141 4:
142 END; { procedure HUNT }
143
144 PROCEDURE HUNTDRHO(var yy: results;
145   index, n:integer;x: real; VAR jlo: integer);
146 {**** NUMERICAL RECIPIES BOOK ****}
147 { calculates integer jlo for x to be between }
148 { yy[index,klo] and yy[index,klo+1] }
149 { index - index of the variable:}
150 { index = 4 for the density delta_rho }
151 { n - number of data (kount) }
152 (* Programs using routine HUNT must define
153 TYPE
154   Datagram = ARRAY [1..n] OF real;
155 in the main routine. *)
156 LABEL 1,2,3,4;
157 VAR
158   jm,jhi,inc: integer;
159   ascnd: boolean;
160 BEGIN
161   ascnd := yy[index,n] > yy[index,1];
162   IF ((jlo <= 0) OR (jlo > n)) THEN BEGIN
163     jlo := 0;
164     jhi := n+1;
165     GOTO 3
166   END;
167   inc := 1;
168   IF ((x >= yy[index,jlo]) = ascnd ) THEN
169 BEGIN
170 1:   jhi := jlo+inc;
171   IF (jhi > n) THEN BEGIN
172     jhi := n+1
173   END ELSE IF ((x >= yy[index,jhi]) = ascnd )
174 THEN
175   BEGIN
176     jlo := jhi;
177     inc := inc+inc;
178     GOTO 1
179   END
180 END ELSE BEGIN
181   jhi := jlo;
182 2:   jlo := jhi-inc;
183   IF (jlo < 1) THEN BEGIN
184     jlo := 0
185   END ELSE IF ((x < yy[index,jlo]) = ascnd )
186 THEN
187   BEGIN
188     jhi := jlo;
189     inc := inc+inc;
190     GOTO 2
191   END;
192 END;
193 3: IF ((jhi-jlo) = 1) THEN GOTO 4;
194   jm := (jhi+jlo) DIV 2;
195   IF ((x > yy[index,jm]) = ascnd ) THEN BEGIN
196     jlo := jm
197   END ELSE BEGIN
198     jhi := jm
199   END;
200   GOTO 3;
201 4:
202 END; { procedure HUNTDRHO }
203
204 PROCEDURE SPLINE(VAR x,y: Datagram;
205   n: integer; yp1,ypn: real;VAR y2: Datagram);
206 {*** NUMERICAL RECIPES BOOK *****}
207 {*** with SPLINES of THIRD ORDER *****}
208 {**makes SECOND DERIVATIVES of y in y2 }
209 { given the first derivative yp1 at the beginning, }
210 { and at the end of data ypn }
211 { IF yp1 or ypn > 1E20 then second derivative }
212 { of that point is zero! CALL SPLINE procedure}
213 { with n = Numdat }
214 VAR
215   i,k: integer;
216   p,qn,sig,un: real;
217   u: Datagram;
218 BEGIN
219   IF (abs(yp1) > 0.99e20) THEN BEGIN
220     y2[1] := 0.0;
221     u[1] := 0.0
222   END ELSE BEGIN
223     y2[1] := -0.5;
224     u[1] := (3.0/(x[2]-x[1]))*((y[2]-y[1])
225     /(x[2]-x[1])-yp1)
226   END;
227   FOR i := 2 to n-1 DO BEGIN
228     sig := (x[i]-x[i-1])/(x[i+1]-x[i-1]);
229     p := sig*y2[i-1]+2.0;
230     y2[i] := (sig-1.0)/p;
231     u[i] := (y[i+1]-y[i])/(x[i+1]-x[i])
232     -(y[i]-y[i-1])/(x[i]-x[i-1]);
233     u[i] := (6.0*u[i]/(x[i+1]-x[i-1])-sig*u[i-1])/p
234   END;
235   IF (abs(ypn) > 0.99e20) THEN BEGIN
236     qn := 0.0;
237     un := 0.0
238   END ELSE BEGIN
239     qn := 0.5;
240     un := (3.0/(x[n]-x[n-1]))*(ypn-(y[n]-y[n-1])
241     /(x[n]-x[n-1]))
242   END;
243   y2[n] := (un-qn*u[n-1])/(qn*y2[n-1]+1.0);
244   FOR k := n-1 DOWNTO 1 DO BEGIN
245     y2[k] := y2[k]*y2[k+1]+u[k]
246   END
247 END; { procedure SPLINE }
248
249 PROCEDURE MakeRiAlpha(var y : GlnArray;
250   VaryAlpha : char;var Ri, Alpha : real);
251 {*****}
252 var SqrRi : real;
253 Begin
254 { y[1]:=u; y[2]:=b; y[3]:=theta; y[4]:=gam0; }
255 SqrRi := 4.0*Sqr(Lambda)*sqrt(2.0*PI)*GG*y[2]*y[4]/
256 (Rho0*(1.0+sqr(Lambda))*sqr(y[1]));
257 if (y[2]*y[4] > 0) then
258   Ri := Sqrt(SqrRi)
259 else
260   Ri := -Sqrt(-SqrRi);
261 If UpCase(VaryAlpha) = 'Y' then

```

```

263   If SqrRi < -200.0 then
264     Alpha:= 0.0
265   else
266     Alpha:=
267   Alphj*exp(ln(Alphp/Alphj)*SqrRi/Sqr(Rip))
268   else
269     Alpha := Alphp;
270 END; { MakeRiAlpha }

271
272 PROCEDURE SPLINDER(Xcut,xklo,xkhi, yklo,
273   ykhi,y2klo,y2khi: real; VAR yy,dydx: real);
274 {*****}
275 { Numerical Recipes, page 110, and 123, new
276 edition}
277 { calculates the interpol. value of the integrand }
278 { for argument Xcut, saves in the variable yy, }
279 { calculates the derivative dydx for Xcut. }
280 VAR
281   kk: integer;
282   hh,aa,bb : real;
283 BEGIN
284   hh := xkhi-xklo;
285   IF (hh = 0.0) THEN BEGIN
286     writeln ('pause in routine SPLINT');
287     writeln (' ... bad hh input; hh:',hh,
288       ' xkhi:',xkhi,' xklo:',xklo);
289   readln END;
290   aa := (xkhi-Xcut)/hh;
291   bb := (Xcut-xklo)/hh;
292   yy := aa*yklo+bb*ykhi+
293     ((aa*aa*aa-aa)*(y2klo+(bb*bb*bb-
294     bb)*y2khi)*(hh*hh)/6.0;
295   dydx := (Ykhi-Yklo)/hh - ((3.0*aa*aa-
296     1.0)*hh*y2klo/6.0)
297     + ((3.0*bb*bb-1.0)*hh*y2khi/6.0);
298 END; { procedure SPLINDER }

299
300 PROCEDURE DERIVS(x: real; y: glnarray;
301   VAR dydx: glnarray);
302 {*****}
303 (* CALL SPLINDER for dgamdz first.
304 Programs using routine DERIVS must define the
305 TYPE
306   glnarray = ARRAY [1..4] OF real;
307 in the calling routine. *)
308 BEGIN
309   dydx[1] := 2.0*GG*Sqr(Lambda)*y[4]*sin(y[3])
310     /(y[1]*Rho0) - 2.0*y[1]*Alpha/y[2];
311   dydx[2] := 2.0*Alpha-
312     (y[2]*GG*Sqr(Lambda)*y[4]*sin(y[3])
313       /(Sqr(y[1])*Rho0));
314   dydx[3] := 2.0*GG*Sqr(Lambda)*y[4]*cos(y[3])
315     /(Sqr(y[1])*Rho0);
316   dydx[4] := (1.0+Sqr(Lambda))*sin(y[3])*dgamdz
317     /(Sqr(Lambda)) - 2.0*Alpha*y[4]/y[2]
318 END;

319 PROCEDURE rk4(y,dydx: glnarray; n: integer;
320   x,h: real; VAR yout: glnarray);
321 {*****}
322 (* Programs using routine RK4 must provide
323 DERIVS(x:real; y:glnarray; VAR dydx:glnarray);
324 which returns the derivatives dydx at location x,
325 given both x and the function values y. The
326 calling
327 program must also define the types
328 TYPE
329   glnarray = ARRAY [1..nvar] OF real;
330 where nvar is the number of variables y. *)
331 VAR
332   i: integer;
333   xh,hh,h6: real;
334   dym,dyt,yt: glnarray;
335 BEGIN
336   hh := h*0.5;
337   h6 := h/6.0;
338   xh := x+hh;
339   FOR i := 1 to n DO BEGIN
340     yt[i] := y[i]+hh*dydx[i]
341   END;
342   DERIVS(xh,yt,dym);
343   FOR i := 1 to n DO BEGIN
344     yt[i] := y[i]+hh*dyt[i]
345   END;
346   DERIVS(xh,yt,dym);
347   FOR i := 1 to n DO BEGIN
348     yt[i] := y[i]+hh*dyt[i]
349   END;
350   DERIVS(xh,yt,dym);
351   FOR i := 1 to n DO BEGIN
352     yt[i] := y[i]+h*dym[i];
353     dym[i] := dyt[i]+dym[i]
354   END;
355   DERIVS(x+h,yt,dyt);
356   FOR i := 1 to n DO BEGIN
357     yout[i] := y[i]+h6*(dydx[i]+dyt[i]+2.0*dym[i])
358   END
359   END;
360 END;

361
362 PROCEDURE RKQC(VAR y,dydx: glarray; n:
363 integer;
364   VAR x: real; htry,eps: real; yscal:
365     glarray; VAR hdid,hnext: real);
366 {*****}
367 (* Programs using routine RKQC must provide a
368 PROCEDURE DERIVS(x:real; y:glnarray; VAR
369 dydx:glnarray);
370 which returns the derivatives dydx at location x,
371 given
372 both x and the function values y. They must also
373 define
374 TYPE
375   glarray = ARRAY [1..n] OF real;
376 in the main routine. *)
377 LABEL 1;
378 CONST
379   pgrow=-0.20;
380   pshrnk=-0.25;
381   fcor=0.06666666666666666666666666666666; (* 1.0/15.0
382 *)
383   one=1.0;
384   safety=0.9;
385   errcon=6.0e-4;
386 VAR
387   i: integer;
388   xsav,hh,h,temp,errmax: real;
389   dysav,ysav,ytemp: glarray;
390 BEGIN
391   xsav := x;
392   FOR i := 1 to n DO BEGIN
393     ysav[i] := y[i];
394     dysav[i] := dydx[i]

```

```

395    END;
396    h := htry;
397 1: hh := 0.5*h;
398 { evaluate first Runge-Kutta for a step h/2:}
399 rk4(ysav,dysav,n,xsav,hh,ytemp);
400 x := xsav+hh;
401 DERIVS(x,ytemp,dydx);
402 { second step starts at x=xsav+0.5*h. }
403 { Evaluate second Runge-Kutta for a step h/2:}
404 rk4(ytemp,dydx,n,x,hh,y); { you have y }
405 x := xsav+h;
406 IF (x = xsav) THEN BEGIN
407   writeln('pause in routine RKQC');
408   writeln('stepsize too small'); readln
409 END;
410 { Evaluate Runge-Kutta for a full step h:}
411 rk4(ysav,dysav,n,xsav,h,ytemp); { ytemp by
412 large step}
413 errmax := 0.0;
414 FOR i := 1 to n DO BEGIN
415   ytemp[i] := y[i]-ytemp[i];{ difference in
416 methods}
417   temp := abs(ytemp[i]/yscal[i]); { rel. error }
418   IF (errmax < temp) THEN errmax := temp
419 END;
420 errmax := errmax/eps;
421 IF (errmax > one) THEN BEGIN
422   h := safety*h*exp(pshrnk*ln(errmax));
423   GOTO 1 END
424 ELSE BEGIN
425   { h was OK, find hnxt }
426   hdid := h;
427   IF (errmax > errcon) THEN BEGIN
428     hnxt := safety*h*exp(pgrow*ln(errmax))
429   END ELSE BEGIN
430     hnxt := 4.0*h
431   END
432 END;
433 FOR i := 1 to n DO BEGIN
434   { include fifth's order correction }
435   y[i] := y[i]+ytemp[i]*fcor
436 END
437 END; { RKQC }

438 PROCEDURE FAECALI(VAR ystart: glnarray;
439                     nvar:integer; VaryAlpha : char;
440                     x1,x2,eps,s1,smin: real;
441                     VAR nok,nbad: integer);
442 {*****}
443 { made of odeint, s1 guessed first step, smin
444 min.step }
445 (* Programs using routine ODEINT must provide
446 a
447 a
448 PROCEDURE DERIVS(x:real; y:glnarray; VAR
449 dydx:glnarray);
450 which returns the derivatives dydx at location x,
451 given
452 both x and the function values y. They must also
453 define
454 TYPE
455   glnarray = ARRAY [1..nvar] OF real;
456 and declare the following parameters
457 VAR
458   kount: integer;
459   dxsav: real;

460   xp,yp: ARRAY [1..NV,1..NN], xxp, zzp:
461   DatArray;
462 { in the MAIN PROGRAM *)
463 LABEL 99;
464 CONST
465   maxstp=10000;
466   two=2.0;
467   zero=0.0;
468   tiny=1.0e-30;
469 VAR
470   nstp,i: integer;
471   xsav,x,dsnext,dsdid,ds: real;
472   yscal,y,dydx: glnarray;
473   { Alphst : real; }
474 BEGIN
475   x := x1;
476   IF (x2 > x1) THEN ds := abs(s1) ELSE ds := -
477   abs(s1);
478   nok := 0;
479   nbad := 0;
480   kount := 0{1};
481   FOR i := 1 to nvar DO BEGIN
482     y[i] := ystart[i]
483   END;
484   xp[1] := x1; { inserted on 15 September 98 }
485   xsav := x-dxsav*two;
486 {***** START BIG FOR LOOP: *****}
487 FOR nstp := 1 to maxstp DO BEGIN
488   { call spline for dgamdz(Height=zzp[kount]), }
489   { which you need in DERIVS: }
490   HUNT(HeightArr, NumDat, zzp[kount],
491   tempklo);
492   SPLINDER(zzp[kount],HeightArr[tempklo],
493   HeightArr[succ(tempklo)],
494   GamArr[tempklo],GamArr[succ(tempklo)],
495   GamArr[tempklo],GamArr[succ(tempklo)],
496   y2[tempklo],y2[succ(tempklo)],gam0,dgamdz);
497   MakeRiAlpha(y,VaryAlpha,Ri,Alpha);
498   DERIVS(x,y,dydx);
499   FOR i := 1 to nvar DO BEGIN
500     { Scaling for monitoring accuracy - modify if
501 necessary }
502     yscal[i] := abs(y[i])+abs(dydx[i]*ds)+tiny
503   END;
504   IF (abs(x-xsav) > abs(dxsav)) THEN BEGIN
505     IF (kount < kmax-1) THEN BEGIN
506       { store intermediate results }
507       kount := kount + 1;
508       xp[kount] := x;
509       FOR i := 1 to nvar DO BEGIN
510         yp[i,kount] := y[i]
511       END;
512       xsav := x;
513       If kount > 1 then begin
514         xxp[kount] := xxp[pred(kount)] +
515         (xp[kount]-
516         xp[pred(kount)])*cos(y[3]);
517         zzp[kount] := zzp[pred(kount)] +
518         (xp[kount]-
519         xp[pred(kount)])*sin(y[3]);
520         RiArr[kount] := Ri;
521         AlphArr[kount] := Alpha;
522       End; { IF kount > 1 }
523     END; { IF kount < kmax-1 }
524   END; { IF (abs(x-xsav) > abs(dxsav)) }
```

```

526      { if stepsize can overshoot, decrease it }
527      IF (((x+ds-x2)*(x+ds-x1)) > zero) THEN ds
528 := x2-x;
529      (***** CALL THE ENGINE: *****)
530
531 RKQC(y,dydx,nvar,x,ds,eps,yscal,dssid,dsnxt);
532      { the step dssid was really done }
533      IF (dssid = ds) THEN BEGIN
534          nok := nok+1
535      END ELSE BEGIN
536          nbad := nbad+1
537      END;
538      { Are we done?: IF (((x-x2)*(x2-x1)) >= zero)
539 THEN BEGIN}
540      { finish when y[1] = u < 0, NOT when theta
541 (y[3]) < 0 }
542      { as supposed in Water Quality Modelling (p.
543 162) }
544      IF ( (((x-x2)*(x2-x1)) >= zero) OR
545 ((y[3] < 0.0) AND (zzp[kount] > 0)) OR
546 ((y[1] < EPS_U) AND (zzp[kount] > 0)) OR
547 (zzp[kount] > Zmax) )
548      THEN BEGIN
549          FOR i := 1 to nvar DO BEGIN
550              ystart[i] := y[i] { ystart for the }
551          END;
552          { save final step }
553          kount := kount+1;
554          xp[kount] := x;
555          FOR i := 1 to nvar DO BEGIN
556              yp[i,kount] := y[i]
557          END;
558          If kount > 1 then begin
559              xxp[kount] := xxp[pred(kount)] +
560                  (xp[kount]-xp[pred(kount)])*cos(y[3]);
561              zzp[kount] := zzp[pred(kount)] +
562                  (xp[kount]-xp[pred(kount)])*sin(y[3]);
563              RiArr[kount] := Ri;
564              AlphArr[kount] := Alpha;
565          End;
566          GOTO 99 { normal exit }
567      END; { IF (()) >= 0 OR ... OR ... }
568      IF (abs(dsnxt) < smin) THEN BEGIN
569          writeln('pause in routine ODEINT');
570          writeln('stepsize too small'); readln;
571      END;
572      ds := dsnxt;
573      END; { for nstp }
574 (***** END BIG FOR LOOP *****)
575      writeln('pause in FAECALI - too many steps');
576      readln;
577      writeln(outf2,'pause in FAECALI - too many
578 steps');
579      99: END; { FAECALI }
580
581 PROCEDURE
582 ANALYTIC(diameter,dgmdz,rho0,u0:real;
583             var ZZstra,SSstra:real);
584 {*****}
585 Const
586     konst1 = 3.98;
587     konst2 = 0.071;
588     konst3 = 0.089;
589 Var gprime, N2, epsprime, QQ,delrho0 : real;
590 Begin
591     delrho0 := rho0 - 1000.0;
592     QQ := PI*u0*sqr(diameter)/4.0;
593     writeln('QQ:',QQ:10:5);
594     {gprime := GG*delrho0/rho0;}
595     {Fischer in drugi 1979, p.345 rho0=rho fresh
596 water}
597     {Lee H.W. and Neville-Jones, 1987,
598 J.Hyd Engl., }
599     { 113, 5, p. 616 rho0=rho sea-water}
600     gprime := GG*delrho0/rho0;
601     writeln('delrho0:',delrho0:5:2,' rho0:',
602           rho0:7:2,' gprime:',gprime:7:4);
603     if abs(dgmdz) > 1e-10 then
604         begin
605             epsprime := -dgmdz/rho0;
606             { Fischer in drugi, 1979, page 345 }
607             N2 := GG*epsprime;
608             writeln('N2:',N2:10:6);
609             ZZstra := konst1*exp(0.25*ln(gprime*QQ))
610             /exp(3.0*ln(N2)/8.0);
611             SSstra := konst2*exp((ln(gprime) +
612             5.*ln(ZZstra) - 2.*ln(QQ))/3.0);
613         end
614     else
615         begin
616             ZZstra := DepthDif;
617             SSstra := konst3*exp((ln(gprime) +
618             5.*ln(ZZstra) - 2.*ln(QQ))/3.0);
619         end;
620
621     End;{ procedure ANALYTIC }
622
623 PROCEDURE STRATIMIDDLE;
624 {*****}
625 Begin
626     FOR i := 1 to kount DO BEGIN
627         write(xp[i]:8:4,'');
628         write(outf,time[i]:5:2,'',xp[i]:5:2);
629         For jj := 1 to NV do
630             begin
631                 write(yp[jj,i]:5:3,'');
632                 if jj = 2 then
633                     write(outf,yp[jj,i]:6:2,'')
634                 else
635                     write(outf,yp[jj,i]:5:2,'');
636             end;
637             writeln(xxp[i]:5:2,'',zzp[i]:5:2);
638             { Sm - numerical dilution along the trajectory }
639             Sm := yp[1,i]*sqr(yp[2,i])*4.0*Sqr(Lambda)/
640                 (U0*Sqr(Diameter)*(1.0+Sqr(Lambda)));
641             writeln(outf,'',xxp[i]:5:2,'',zzp[i]:5:2,'',
642                   xxp[i]+yp[2,i]*sin(yp[3,i]):5:2,'',
643                   zzp[i]-yp[2,i]*cos(yp[3,i]):5:2,'',
644                   xxp[i]-yp[2,i]*sin(yp[3,i]):5:2,'',
645                   zzp[i]+yp[2,i]*cos(yp[3,i]):5:2,'',
646                   Sm:5:2,'',RiArr[i]:6:3,'',AlphArr[i]:6:4);
647         END;
648         writeln(
649             outf2,' zzp Sm y[1] y[2] y[3] y[4]');
650         i := 1;
651         Sm := yp[1,i]*sqr(yp[2,i])*4.0*Sqr(Lambda)/
652             (U0*Sqr(Diameter)*(1.0+Sqr(Lambda)));
653         writeln(outf2,zzp[i]:5:2,'',Sm:5:2,'',
654             yp[1,i]:6:4,'',yp[2,i]:6:4,'',yp[3,i]:6:4
655             ,',',yp[4,i]:6:4);
656         write(outf3,yp[1,1]:4:2,'');
657 {*****}

```

```

658 { INTERPOLATION of data for del_rho = 0 }
659 { HUNDRHO(yp,4, kount,0.0,tempklo); - 
660 already }
661 { called in the main program }
662 for jj := 1 to pred(NV) do begin { NV = 4 }
663   yp[jj,tempklo] := yp[jj,tempklo] +
664   (yp[4,succ(tempklo)]-
665 0.0)*(yp[jj,succ(tempklo)]
666 -yp[jj,tempklo])/(
667 (yp[4,succ(tempklo])-yp[4,tempklo]);
668 end;
669 yp[4,tempklo] := 0.0;
670 i := tempklo;
671 zzp[i] := zzp[i] +
672 (yp[4,succ(i)]-0.0)*(zzp[succ(i)]-zzp[i])/(
673 (yp[4,succ(i)]-yp[4,i]);
674 {***** END INTERPOLATION *****}
675 Sm := yp[1,i]*sqr(yp[2,i])*4.0*Sqr(Lambda)/
676 (U0*Sqr(Diameter)*(1.0+Sqr(Lambda)));
677 writeln(
678 outf2,zzp[i]:5:2,'.Sm:5:2','.yp[1,i]:6:4;',
679 'yp[2,i]:6:4','.yp[3,i]:6:4','.yp[4,i]:6:4);
680 write(
681 outf3,zzp[i]:7:2,'.Sm:7:2','.yp[1,i]:7:2;',
682 'yp[2,i]:7:2');
683 Sm := yp[1,i]*sqr(yp[2,i])*4.0*Sqr(Lambda)/
684 (U0*Sqr(Diameter)*(1.0+Sqr(Lambda)));
685 { write a record for i = tempklo (del_rho = 0)}
686 writeln
687 (outf2,zzp[i]:5:2,'.Sm:5:2','.yp[1,i]:6:4;',
688 'yp[2,i]:6:4','.yp[3,i]:6:4','.yp[4,i]:6:4);
689 write(outf3,zzp[i]:7:2,'.Sm:6:2','.yp[1,i]:5:2;',
690 'yp[2,i]:5:2','.yp[4,i]:7:2);
691 i := kount; { write last record in other two files }
692 Sm := yp[1,i]*sqr(yp[2,i])*4.0*Sqr(Lambda)/
693 (U0*Sqr(Diameter)*(1.0+Sqr(Lambda)));
694 writeln(outf2,zzp[i]:5:2,'.Sm:5:2','.yp[1,i]:6:4,
695 ',
696 'yp[2,i]:6:2','.yp[3,i]:6:4','.yp[4,i]:6:4);
697 write(outf3,zzp[i]:7:2,'.Sm:7:2','.yp[2,i]:6:2;',
698 'yp[4,i]:4:2);
699 {*****}
700 {<dgamdz> from diffusser to max plume height}
701 HUNT(
702 HeightArr, NumDat,zzp[kount], tempklo);
703 { get gama for zzp[kount] }
704 SPLINDER(zzp[kount],HeightArr[tempklo],
705 HeightArr[succ(tempklo)],GamArr[tempklo],
706 GamArr[succ(tempklo)],y2[tempklo],
707 y2[succ(tempklo)],gama,dgamdz);
708 HUNT(HeightArr, NumDat,Height0, tempklo);
709 { get gam0 for Height0 }
710 SPLINDER(Height0,HeightArr[tempklo],
711 HeightArr[succ(tempklo)],GamArr[tempklo],
712 GamArr[succ(tempklo)],y2[tempklo],
713 y2[succ(tempklo)],gam0,dgamdz);
714 dgamdz := (gama-gam0)/(zzp[kount]-Height0);
715 writeln('<dgamdz>:',dgamdz:10:5);
716 {** call experimental estimation of ZZstra **}
717 {** and SSstra - fixed dgamdz **}
718 ANALYTIC(
719 diameter,dgamdz,rho0,u0,ZZstra,SSstra);
720 writeln(outf2,ZZstra:5:2,'.SSstra:5:2);
721 { i = kount }
722 writeln(
723 outf3,ZZstra:7:2,'.abs(ZZstra-zzp[i])*100.0
724 /ZZstra:5:2,'.SSstra:5:2,'.abs(SSstra-Sm)
725 *100.0/SSstra:5:2);
726 writeln('SSstra:',SSstra:8:2,'
727 ZZstra:',ZZstra:5:2);
728 writeln('U0:',U0:4:2, 'theta0(deg):',theta0*180.
729 /PI:5:2,'Zmax:',Zmax:5:2,'U:',yp[1,kount]:5:3,
730 'theta(deg):',yp[3,kount]*180./PI:5:2,'Zend:',
731 zzp[kount]:5:2);
732 End; { STRATIMIDDLE }
733
734 PROCEDURE STRATISURFACE;
735 { ****}
736 var Sm_temp : real;
737 Begin
738 HUNT(zzp,kount, DepthDif,tempklo);{zzp in
739 FAECALI}
740 FOR i := 1 to tempklo DO BEGIN
741 write(xp[i]:8:4,'');
742 write(outf,time[i]:5:2,'.xp[i]:5:2);
743 For jj := 1 to NV do
744 begin
745 write(yp[jj,i]:5:3,'');
746 if jj = 2 then
747 write(outf,yp[jj,i]:6:2,'')
748 else
749 write(outf,yp[jj,i]:5:2,'');
750 end;
751 writeln(xxp[i]:5:2,'.zzp[i]:5:2);
752 { Sm - numerical dilution along the trajectory
753 }
754 Sm := yp[1,i]*sqr(yp[2,i])*4.0*Sqr(Lambda)/
755 (U0*Sqr(Diameter)*(1.0+Sqr(Lambda)));
756 writeln(outf,'.xxp[i]:5:2,'.zzp[i]:5:2,'.
757 xxp[i]+yp[2,i]*sin(yp[3,i]):5:2,'.
758 zzp[i]-yp[2,i]*cos(yp[3,i]):5:2,'.
759 xxp[i]-yp[2,i]*sin(yp[3,i]):5:2,'.
760 zzp[i]+yp[2,i]*cos(yp[3,i]):5:2,'.
761 Sm:5:2,'.RiArr[i]:6:3,'.AlphArr[i]:6:4);
762 END; { FOR i = 1 TO tempklo }
763 Sm_temp := Sm;
764 { Sm for zzp[tempklo] < depthDif - from FOR
765 loop above}
766 {* LINEAR INTERPOL. of last data for zzp =
767 DepthDif *}
768 i := tempklo;
769 for jj := 1 to NV do begin { NV = 4 }
770 yp[jj,i] := yp[jj,i] +
771 (zzp[succ(i)]-DepthDif)*(yp[jj,succ(i)]-
772 yp[jj,i])
773 /(zzp[succ(i)]-zzp[i]);
774 writeln(jj,'.yp[jj,i]');
775 end;
776 time[i] := time[i] + (zzp[succ(i)]-DepthDif)*
777 (time[succ(i)]-time[i])/(zzp[succ(i)]-zzp[i]);
778 xp[i] := xp[i] + (zzp[succ(i)]-DepthDif)*
779 (xp[succ(i)]-xp[i])/(zzp[succ(i)]-zzp[i]);
780 xxp[i] := xxp[i] + (zzp[succ(i)]-DepthDif)*
781 (xxp[succ(i)]-xxp[i])/(zzp[succ(i)]-zzp[i]);
782 writeln('xp:',xp[i],'xxp:',xxp[i]);
783 writeln('zzp:',zzp[i],'succzzp:',zzp[succ(i)]);
784 { calculate Sm for zzp > DepthDif }
785 Sm := yp[1,succ(i)]*sqr(yp[2,succ(i)])*4.0*
786 Sqr(Lambda)/(U0*Sqr(Diameter)*
787 (1.0+Sqr(Lambda)));
788 {*** interpolate Sm for zzp = DepthDif ***}
789 Sm := Sm_temp + (zzp[succ(i)]-DepthDif)*

```

```

790      (Sm-Sm_temp)/(zzp[succ(i)]-zzp[i]);
791      write(xp[i]:8:4,' ');
792      write(outf,time[i]:5:2,' ',xp[i]:5:2);
793      For jj := 1 to NV do
794          begin
795              write(yp[jj,i]:5:3,' ');
796              if jj = 2 then
797                  write(outf,yp[jj,i]:6:2,' ')
798              else
799                  write(outf,yp[jj,i]:5:2,' ');
800          end;
801      writeln(xxp[i]:5:2,',DepthDif:5:2);
802      writeln(outf,',xxp[i]:5:2,',DepthDif:5:2',
803             xxp[i]+yp[2,i]*sin(yp[3,i]):5:2,'',
804             DepthDif-yp[2,i]*cos(yp[3,i]):5:2,'',
805             xxp[i]-yp[2,i]*sin(yp[3,i]):5:2,'',
806             DepthDif+yp[2,i]*cos(yp[3,i]):5:2,'',
807             Sm:5:2,',RiArr[i]:6:3,',AlphArr[i]:6:4);
808 {*****}
809      writeln(outf2,
810 ' zzp Sm y[1] y[2] y[3] y[4]');
811      i := 1;
812      Sm_temp := yp[1,i]*sqr(yp[2,i])*4.0*Sqr(Lambda)/
813             (U0*Sqr(Diameter)*(1.0+Sqr(Lambda)));
814      first record
815      writeln(outf2,zzp[i]:5:2,' ,Sm_temp:5:2,'
816             ,yp[1,i]:6:4,
817             ',yp[2,i]:6:4,',yp[3,i]:6:4,',yp[4,i]:6:4);
818      write(outf3,yp[1,1]:4:2,' );
819      i := tempklo;
820      { write down already interpolated data for
821      DepthDif }
822      writeln(
823         outf2,DepthDif:5:2,',Sm:5:2,',yp[1,i]:6:4,',
824         yp[2,i]:6:4,',yp[3,i]:6:4,',yp[4,i]:6:4);
825      write(
826         outf3,DepthDif:7:2,',Sm:7:2,',yp[1,i]:6:2,',
827         yp[2,i]:7:2,' );
828 { <dgamdz> from diffusser to max plume height}
829      HUNT(HeightArr, NumDat,DepthDif,
830      tempklo);
831      { tempklo no more related to zzp -the height of}
832      { solution, but related to HeightArr - the height
833      { of the records of density. }
834      { get gama for zzp[kount] }
835      SPLINDER(zzp[kount],HeightArr[tempklo],
836             HeightArr[succ(tempklo)],GamArr[tempklo],
837             GamArr[succ(tempklo)],
838             GamArr[succ(tempklo)],
839             y2[tempklo],y2[succ(tempklo)],gama,dgamdz);
840      HUNT(HeightArr, NumDat,Height0, tempklo);
841      { get gam0 for Height0 }
842      SPLINDER(Height0,HeightArr[tempklo],
843             HeightArr[succ(tempklo)],GamArr[tempklo],
844             GamArr[succ(tempklo)],y2[tempklo],
845             y2[succ(tempklo)], gam0,dgamdz);
846      dgamdz := (gama-gam0)/(zzp[kount]-Height0);
847      writeln(<dgamdz>:,dgamdz:10:5);
848      {** call estimate of ZZstra and SSstra - fixed
849      dgamdz **}
850      ANALYTIC(
851             diameter,dgamdz,rho0,u0,ZZstra,SSstra);
852      writeln(outf2,ZZstra:5:2,',SSstra:5:2);
853      HUNT(zzp,kount, DepthDif,tempklo);
854      {get original tempklo }

856      i := tempklo;
857      writeln(outf3,
858             ZZstra:7:2,',abs(ZZstra-zzp[i])*100.0
859             /ZZstra:5:2,',SSstra:5:2,',abs(SSstra-Sm)*
860             100.0/SSstra:5:2);
861      writeln('SSstra:',SSstra:8:2,'
862             ZZstra:',ZZstra:5:2);
863      writeln(U0:,U0:4:2, ' theta0(deg):',theta0*180.
864             /PI:5:2,'
865             Zmax:,Zmax:5:2,U:,yp[1,kount]:5:3,
866             ' theta(deg):',yp[3,kount]*180./PI:5:2,' Zend:;',
867             zzp[kount]:5:2);
868      End; { STRATISURFACE }

869
870
871 BEGIN { MAIN program }
872 {*****}
873 {*** BIGI-BIGI, NO BUGGY*****}
874 write('Vary Alpha (y/n):');
875 readln(VaryAlpha);
876 repeat
877     write
878     ('vstavi ime datoteke z gostotami (gam.txt):');
879     readln(inpname);
880     FindFirst(inpname, Archive, DirInfo);
881     until DosError = 0;
882     assign(inpf,inpname);
883     reset(inpf);
884     ReadData(NumDat, HeightArr, GamArr);
885     close(inpf);
886 {***** IMENA DATOTEK ZA IZPIS ***}
887 write
888 ('vstavi ime izhodne datoteke za risanje
889 podatkov:');
890 readln(outname);
891 writeln('vstavil si:',outname,' . Pritisni enter:');
892 assign(outf,outname);
893 rewrite(outf);
894 write('vstavi ime izhodne datoteke za bistvene
895 podatke:');
896 readln(outname);
897 writeln('vstavil si:',outname,' . Pritisni enter:');
898 assign(outf2,outname);
899 rewrite(outf2);
900 write('vstavi ime izhodne datoteke za
901 primerjavo podatkov:');
902 readln(outname);
903 writeln('vstavil si:',outname,' . Pritisni enter:');
904 assign(outf3,outname);
905 FindFirst(outname, Archive, DirInfo);
906 If DosError = 0 then
907     append(outf3) { create it first }
908 else rewrite(outf3);
909 {***** ZACETEK Z ZLEPKI *****}
910 SPLINE(HeightArr,GamArr,Numdat,
911             1.1E20,1.1E20, y2);
912 HUNT(HeightArr, NumDat, Height0, tempklo);
913 { get gam0 for ZZ = 0.0: }
914 SPLINDER(Height0,HeightArr[tempklo],
915             HeightArr[succ(tempklo)],GamArr[tempklo],
916             GamArr[succ(tempklo)],y2[tempklo],
917             y2[succ(tempklo)],gam0,dgamdz);
918 {***** ZACETNI PODATKI *****}
919 Diameter := 0.1; { [m] diameter of the orifice }
920 SS0 := 6.2*Diameter;
921 u0 := 1.0; { [m/s] Malacic, '97: 'Geofi-ekoloski'}
```

```

922   b0 := Diameter/Sqrt(2.0);
923 { Water Quality Model, p.155 }
924   theta0 := PI*0.0/180.;
925 { SS0 starting distance [m] along the jet }
926 { ystart[1] = velocity along the jet axis }
927 { ystart[2] = half-width of a buoyant jet }
928 { ystart[3] = angle of jet with respect to XX }
929 { ystart[4] = delta_rho = rho_ambient - rho_jet }
930   ystart[1] := u0;
931   ystart[2] := b0;
932   ystart[3] := theta0;
933   ystart[4] := gam0*(1.0 + Sqr(Lambda))/(2.0*Sqr(Lambda));
934 { suppose a sewage with the density of 1000
935 kg/m^3, }
936 { delta_rho0 = gam0, also 'Water Quality
937 Model.',p.154 }
938   Rho0 := 1000.0 + gam0;
939   xxp[1] := 6.2*Diameter*cos(theta0);
940 { starting distance }
941 { Height0 := 0.0;
942 { starting height above the diffusser }
943   zzp[1] := Height0+6.2*Diameter*sin(theta0);
944   for i := 2 to NN do begin
945     zzp[i] := 0.0;
946     xxp[i] := 0.0;
947     yp[4,i] := 0.0;{ del_rho=0 - for later IF
948 tempklo }
949   end;
950   s1 := 0.001; { guessed first stepsize }
951   smin := 0.0; {1.0E-5;} { minimum step size }
952   SSmax := 100.0;{ not known final distance
953 along the jet }
954   Zmax := DepthDif; { HeightArr[NumDat] may
955 be > DepthDif }
956   dxsav := 0.1;{recorded points are separated by
957 ds > 0.1 }
958   MakeRiAlpha(ystart,VaryAlpha,Ri,Alpha);
959   RiArr[1] := Ri; AlphArr[1] := Alpha;
960 (** CALL THE BEST FAECALI ENGINE **)
961 {*****}
962 FAECALI(
963   ystart,NV,VaryAlpha,SS0,SSmax,eps,s1,smin,
964   nok,nbad);
965   writeln;{ nok = number of good steps, }
966   { nbad = number of bad (repaired) steps }
967   { kount = number of stored (written) values }
968   writeln('successful steps:'':13,nok:3);
969   writeln('bad steps:'':20,nbad:3);
970   writeln('stored intermediate values:'',kount:3);
971   writeln;
972   For i := 1 to NN do
973     time[i] := 0.0;
974   For i :=1 to pred(kount) do
975     time[succ(i)] := time[i] +
976     (xp[succ(i)]-xp[i])*2.0/(yp[1,succ(i)]+yp[1,i]);
977   { tempklo >= kount? }
978   { If YES Then zzp(del_rho=0) IS NOT }
979   {WITHIN the WATER COLUMN => }
980   {STRATISURFACE, ELSE STRATIMIDDLE}
981   HUNTDRHO(yp,4, kount,0.0,tempklo);
982   IF TEMPKLO < KOUNT THEN begin
983     writeln('REMAINED BELOW.
984     Oki-Doki. Press Return!'); readln;
985     STRATIMIDDLE
986   end
987
988 ELSE begin
989   writeln('GONE TO THE SURFACE,
990 Bye-bye. Press Return!'); readln;
991   STRATISURFACE;
992 end;
993 writeln(tempklo);
994 close(outf); close(outf2);close(outf3);
995 END. { program }
996

```

Literatura

- Fan L. N., and N. H. Brooks, 1966. Horizontal jets in stagnant fluid of other density. J. Hydraul. Div. Proc. Am. Soc. Civ. Eng., 92, Hy2, 423-429.
- Fischer, H. B., E. J. List, R. C. Y. Koh, J. Imberger, and N. H. Brooks, 1979. Mixing in Inland and Coastal Waters. Academic Press, New York, 483 pp.
- Featherstone, R. E., 1984. Mathematical models of the discharge of wastewater into a marine environment. *An Introductory to Water Quality Modelling*, Ed. A. James, 1st ed., John Wiley, Chichester, 150-162
- Fonseka, S. V., H. J. S. Fernando, and G. J. F. van Heijst, 1998. Evolution of an isolated turbulent region in a stratified fluid. J. Geophy. Res., 103, (C11), 24,857-24,868.
- Kolar, J., 1983. Odvod odpadne vode iz naselij in zaščita voda. DZS, Ljubljana, str. 523.
- Malačič V., 1991. Estimation of the vertical eddy diffusion coefficient of heat in the Gulf of Trieste (Northern Adriatic), Oceanol. Acta, 14, 23-32.
- Malačič, 1997. Geofizikalno-ekološki pristop k disperziji odplak piranskega izpusta. Fazno poročilo I, Inštitut za biologijo, Morska biološka postaja Piran, 21 str.
- Mavrič V., 1979. Sistem dispozicije odpadnih vod v Piranu. V: Konferencija o zaščiti Jadrana, Vol. 1, Hvar 1979, 165-174.
- Press, W. H., S. A. Teukolsky, W. T. Vetterling, and B. P. Flannery, 1988. Numerical Recipes in C, Cambridge Univ. Press, 735 pp.
- Quentin B., and M. de Rouville, 1986. Submarine sewer outfalls - a design manual. Mar. Poll. Bull., 17, 4, 133-183.
- UNEP, 1995. Guidelines for Submarine Outfall Structures for Mediterranean Small and Medium-Sized Coastal Communities. Working document, UNEP(OCA)/MED WG. 89/Inf.6, 34 pp.